

# マントル・ダイナミクス

地球内部の熱・物質輸送と地球の長期変動

中久喜伴益

広島大学理学研究科地球惑星システム学専攻



# マントル対流に関する数値

空間スケール	垂直: 660~2900 km 水平: 1000~10000 km
粘性率	$10^{19} \sim 10^{23}$ Pa s (平均 $10^{22}$ Pa s)
温度差	2500 ~ 4000 K
対流の速さ	$10^{-8} \sim 3 \times 10^{-6}$ m s <sup>-1</sup> (3 mm ~ 10 cm yr <sup>-1</sup> )
時間スケール	数~10億年

# マントル対流論の課題

## 地球型惑星の熱・化学進化

熱源の量・分布と熱輸送

核・マントル相互作用

マントルプルームの起源

## 惑星表層運動の再現

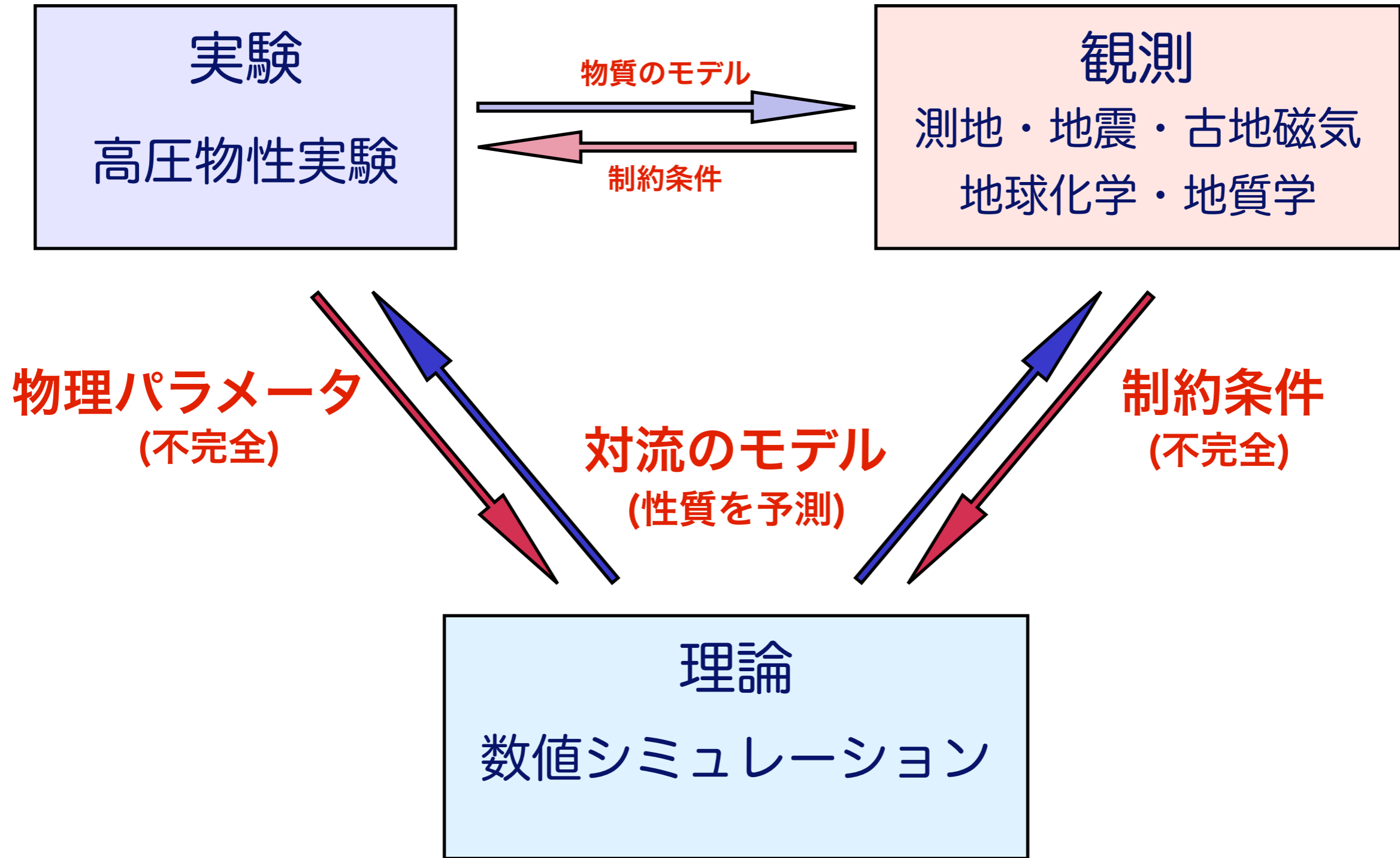
プレートテクトニクスの成因

## マントル対流の構造と不均質

マントル対流の層構造：遷移層

マントル深部の化学的不均質

# マントル対流の研究方法



# マントル対流の特徴

## 身の回りの流体との違い

流体の形状：3次元球殻

粘性率が大：慣性・自転(コリオリ力)は無視可能

粘性変化が大：温度・圧力・応力依存

物性の圧力依存：相変化・熱力学的パラメータの変化

内部加熱源：放射性元素

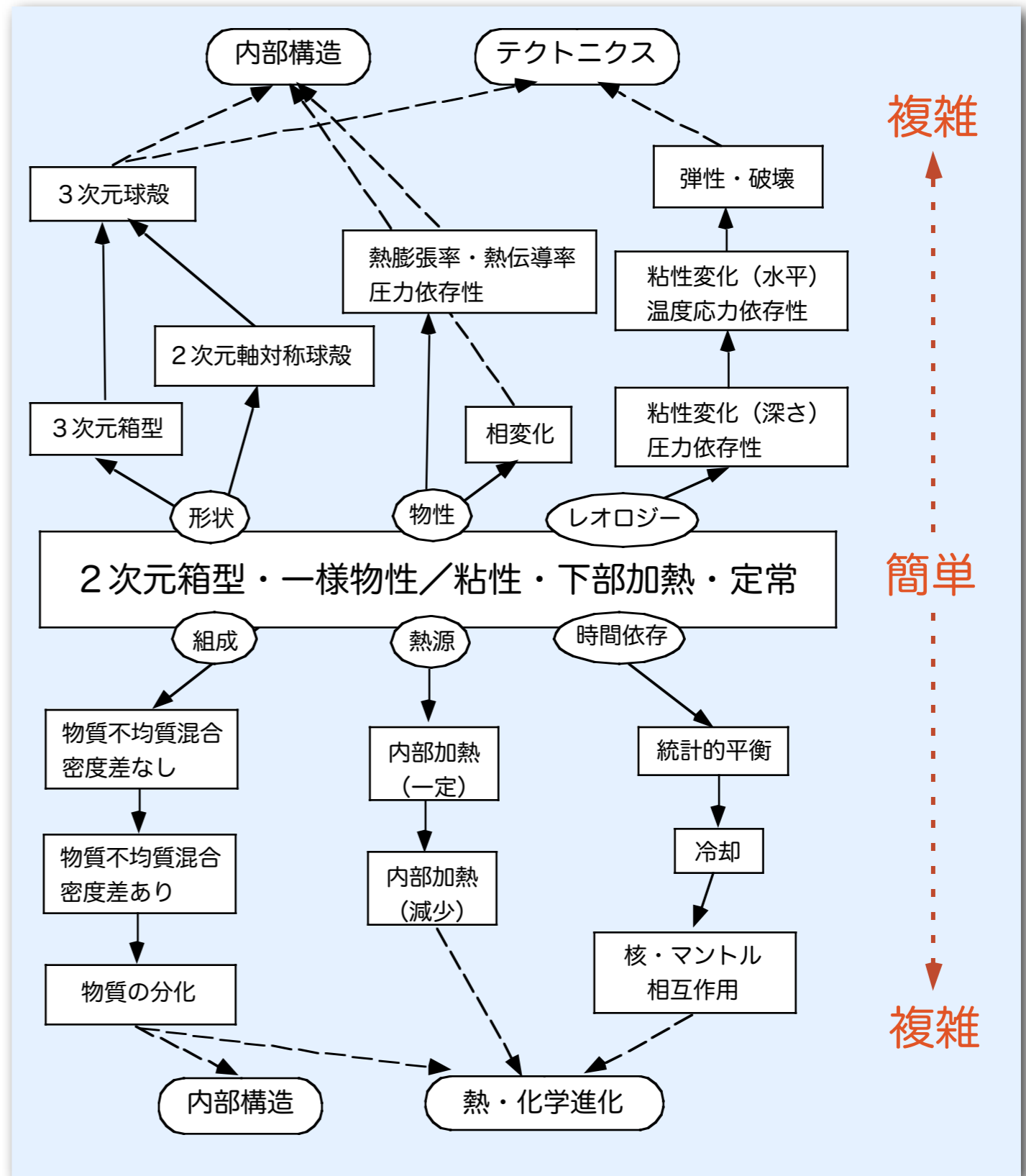
非定常状態：地球の冷却

# マントル対流のモデリング

マントルの  
物理的性質



対流の特徴を  
予測

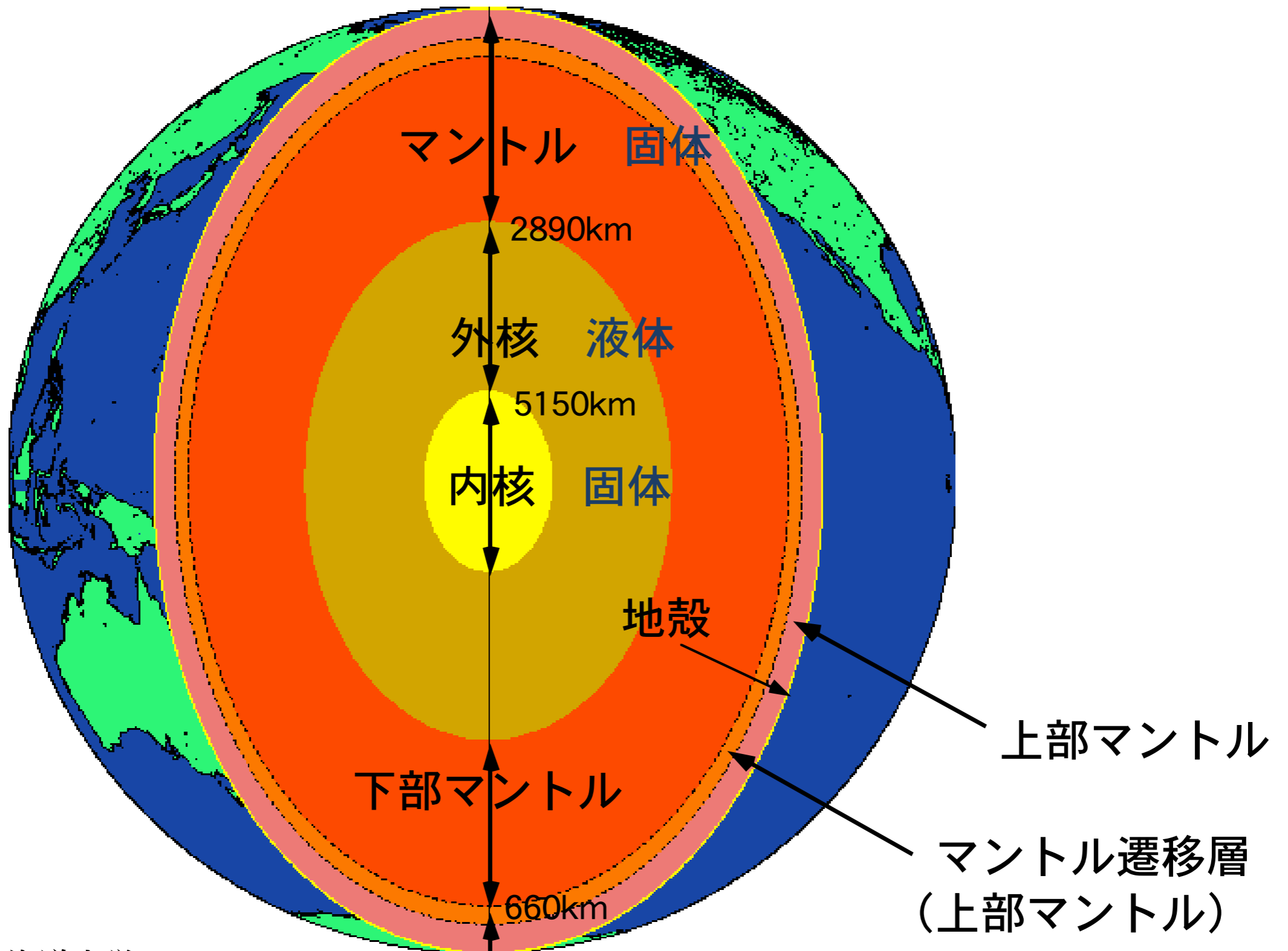


# 大陸移動からプレート・テクトニクスへ

- 1956 J. Hospers 等 大陸移動で地磁気極移動('50~)を説明  
J. Hospers, S. K. Runcorn, K. Creer, E. Irwing
- 1962 H. Hess 海洋底拡大説 “History of Ocean Basins”
- 1963 F. J. Vine,  
D. H. Mathews 海底地磁気縞模様を海底拡大で説明
- 1964 J. T. Wilson トランスフォーム断層の定義・“plate”を初使用
- 1967 D. P. McKenzie 太平洋海底の運動を剛体回転で表現
- 1968 W. J. Morgan 運動極の決定法(TF)・地表を20のプレートに
- 1968 X. Le Pichon 全地球的なプレート(6)運動を決定

地学現象をプレートの相対運動から統一的な説明が可能に

# 地球内部構造





# レイリー数とレイリー・ベナール対流

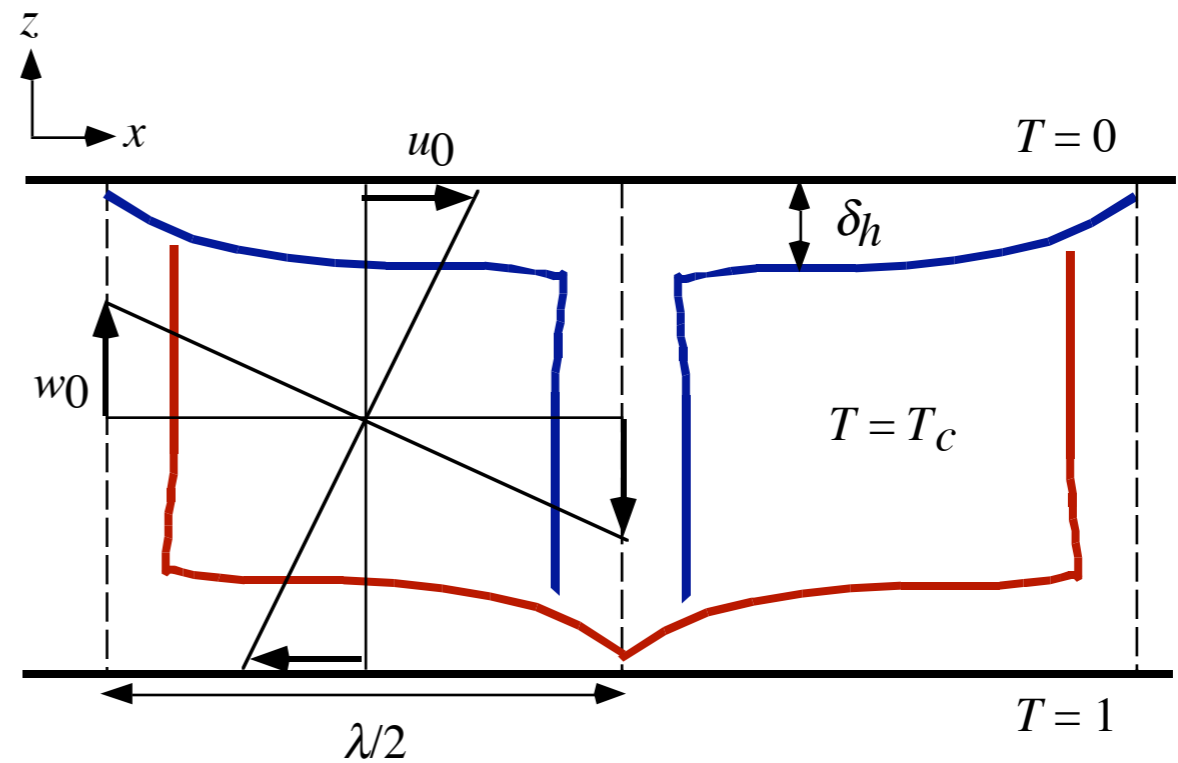
熱レイリー数  $Ra$

$$Ra = \frac{\rho_0 \alpha \Delta T g h^3}{\eta \kappa} \quad \leftarrow \text{浮力}$$

$\eta \kappa$   $\leftarrow$  粘性抵抗

境界レイリー数  $Rb$

$$Rb = \frac{\Delta \rho g h^3}{\eta \kappa}$$



# レイリー数とレイリー・ベナール対流

## 熱レイリー数 $Ra$

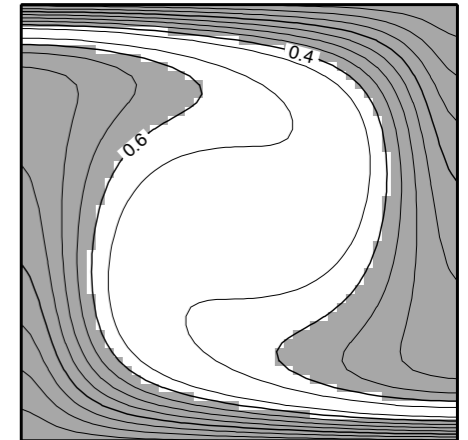
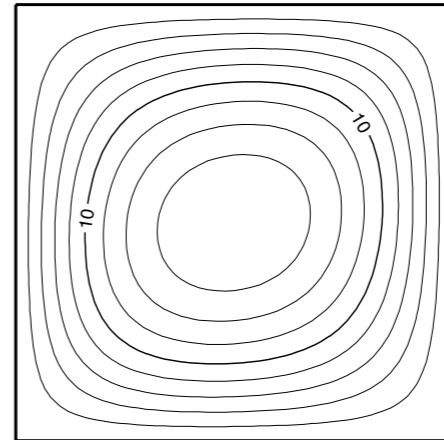
$$Ra = \frac{\rho_0 \alpha \Delta T g h^3}{\eta \kappa}$$

← 浮力  
← 粘性抵抗

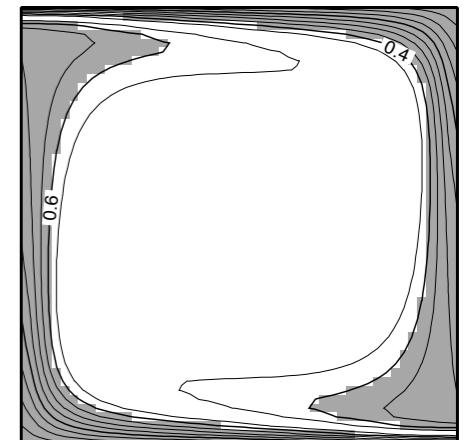
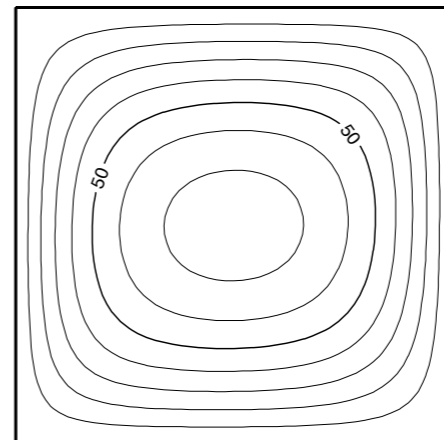
## 境界レイリー数 $Rb$

$$Rb = \frac{\Delta \rho g h^3}{\eta \kappa}$$

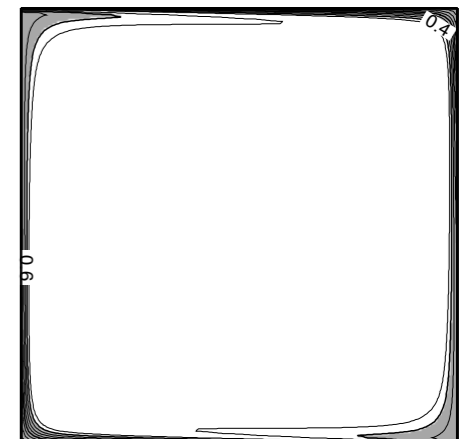
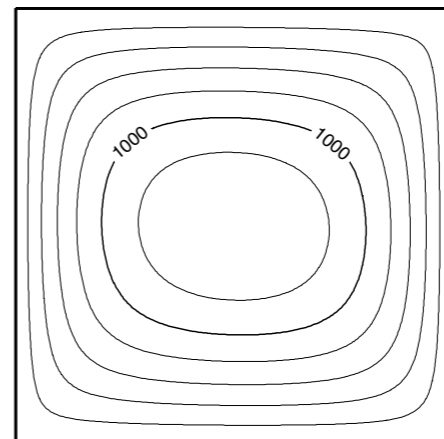
$Ra = 10^4$



$Ra = 10^5$

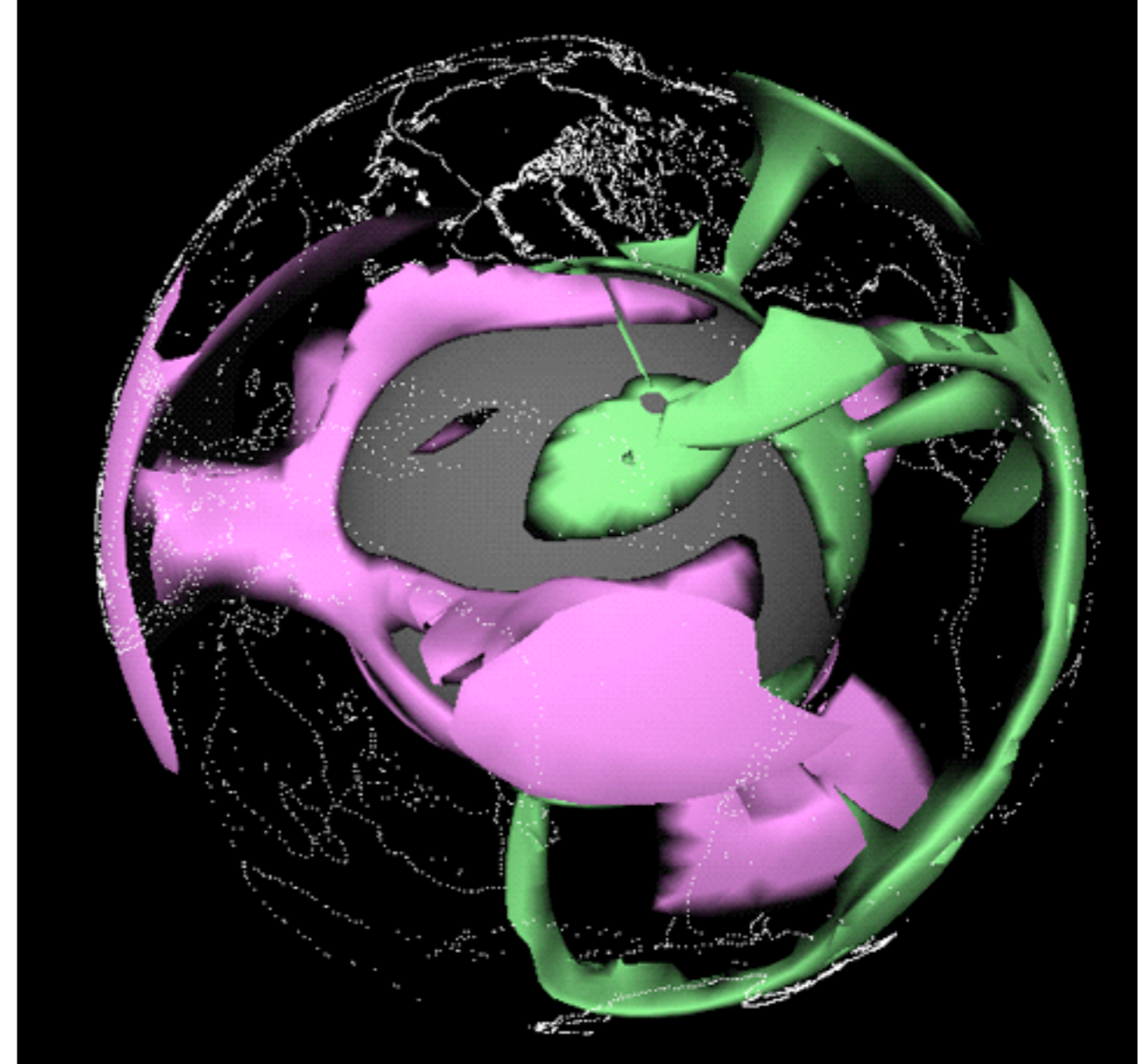
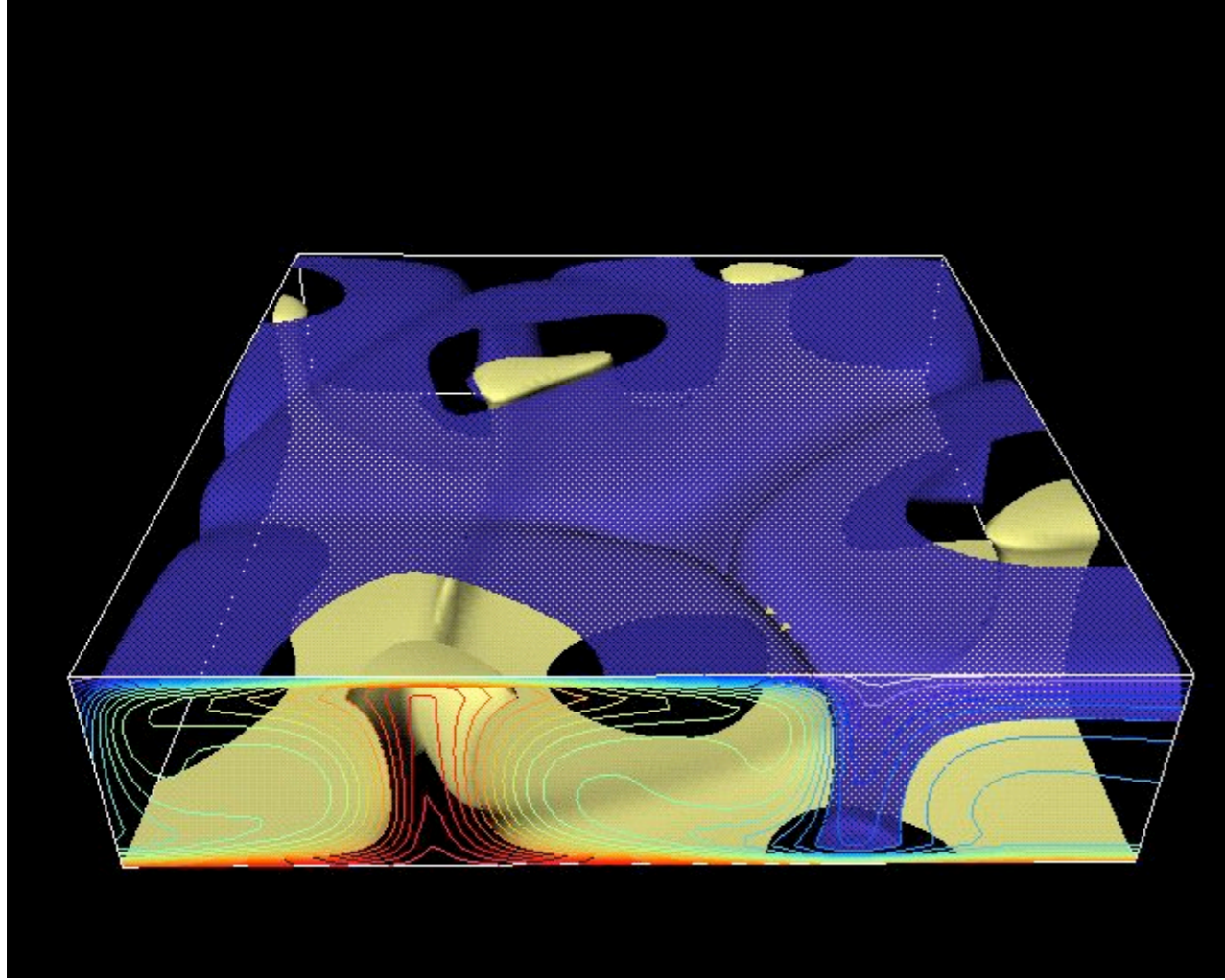


$Ra = 10^6$



# 粘性率一定のマントル対流モデル

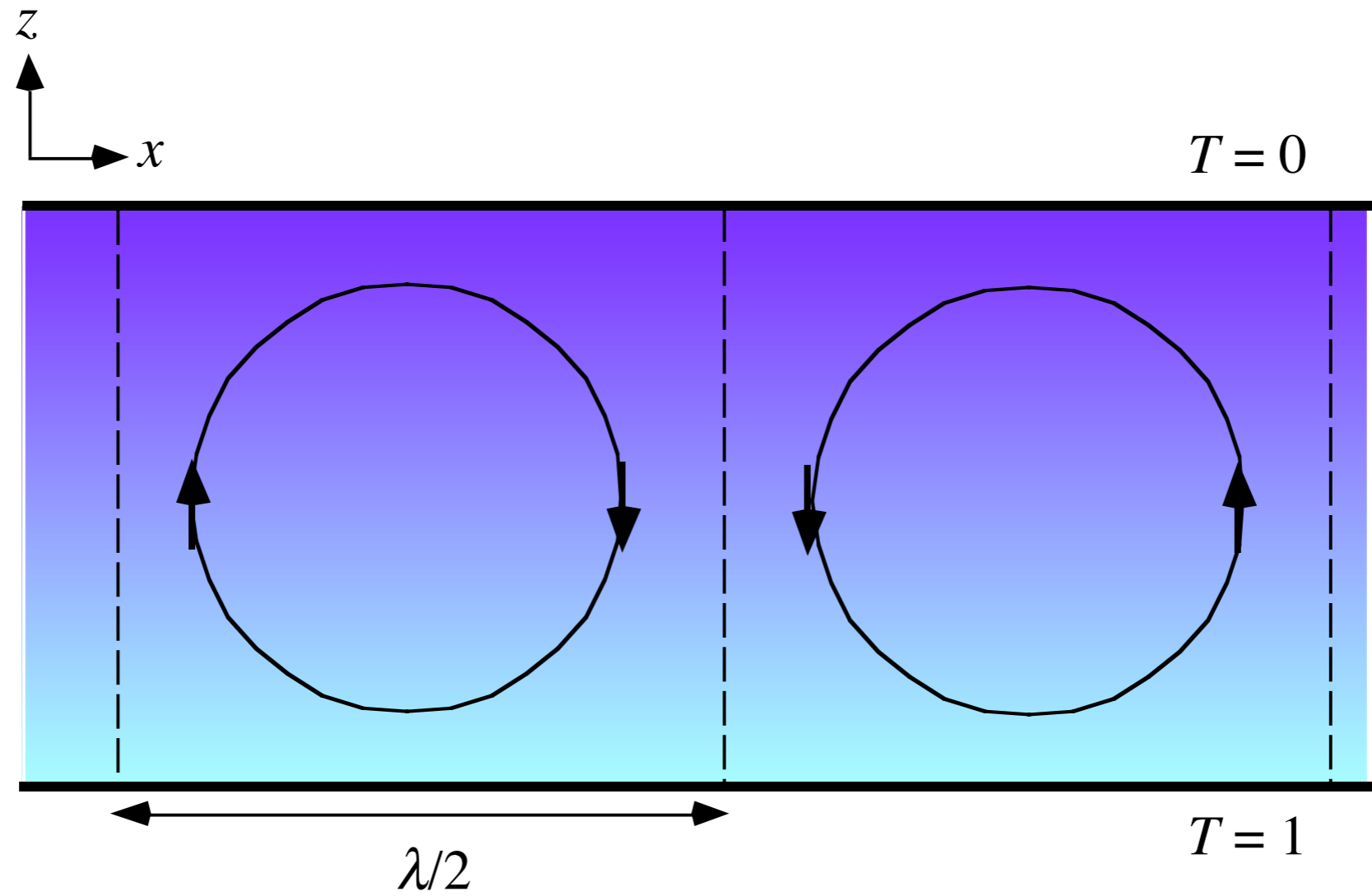
## 三次元：箱形モデルと球殻モデル



左：等温面， 右：温度異常

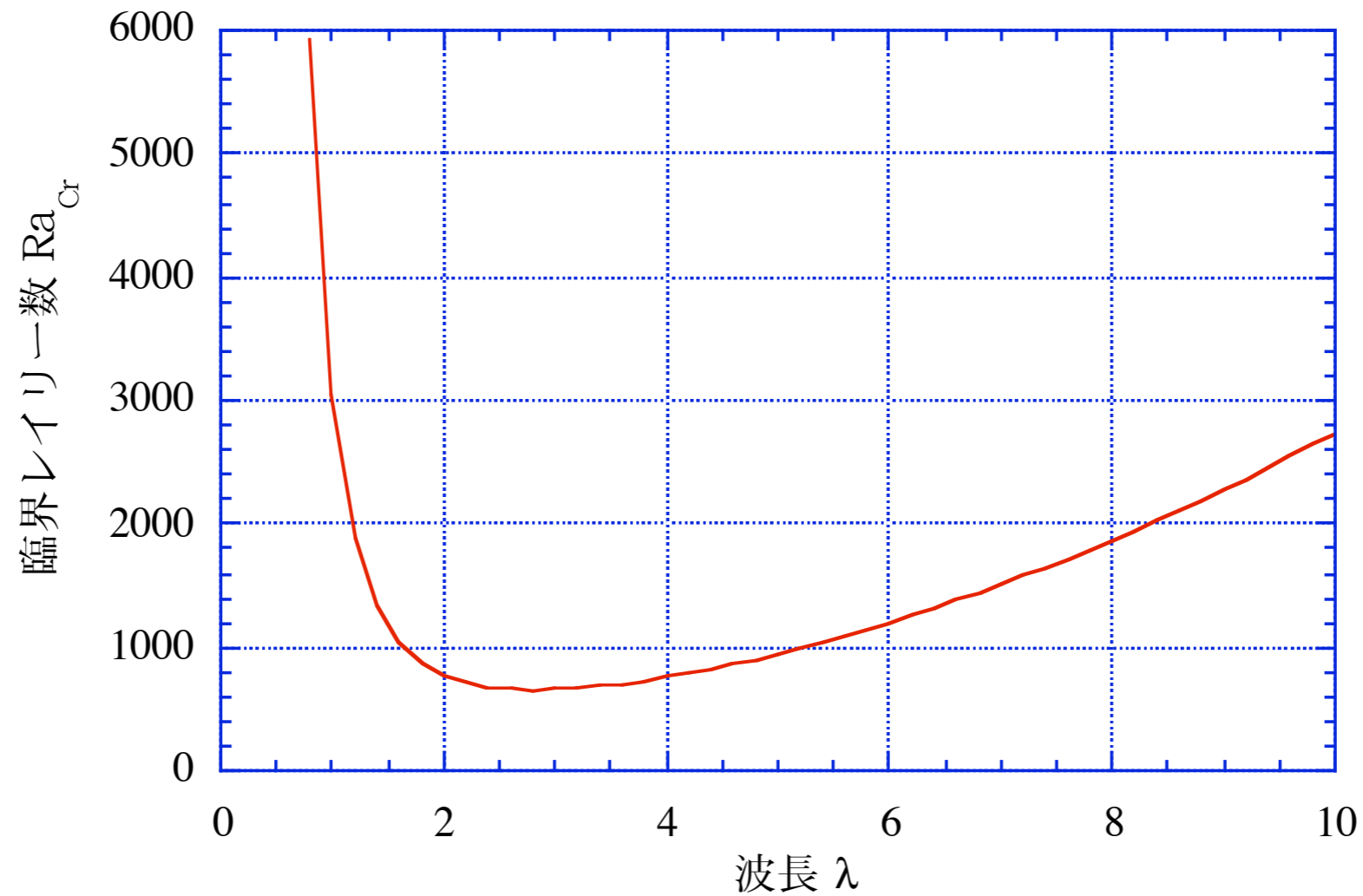
岩瀬による

# 対流の開始: 線形安定性解析



# 対流の開始: 臨界レイリー数

臨界レイリー数 (自由すべり境界)



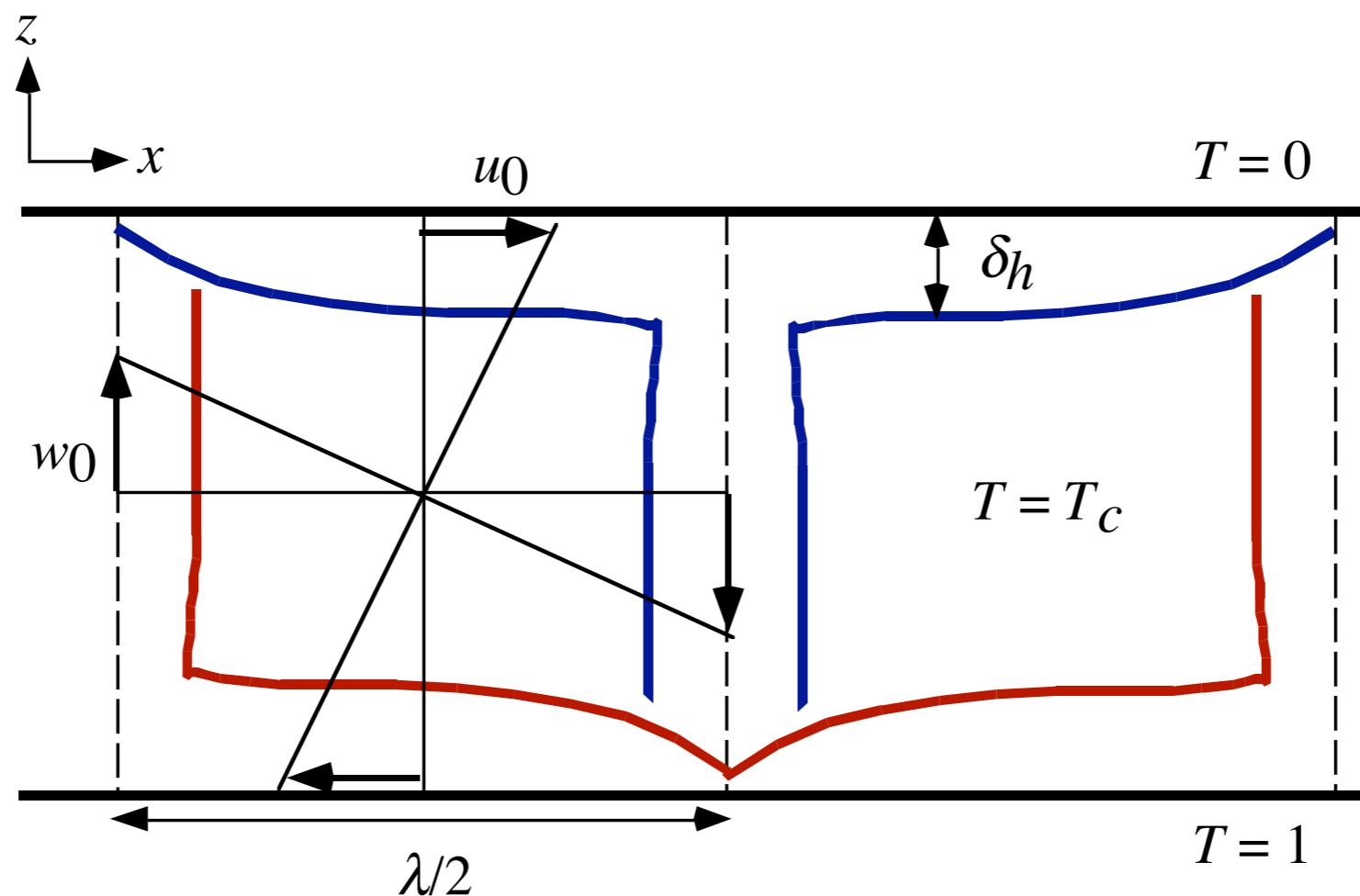
$\lambda=2\sqrt{2}$ のときに $Ra_{Cr}$ が最小値657を取る

# レイリー数とレイリー・ベナール対流

熱レイリー数  $Ra$

$$Ra = \frac{\rho_0 \alpha \Delta T g h^3}{\eta \kappa}$$

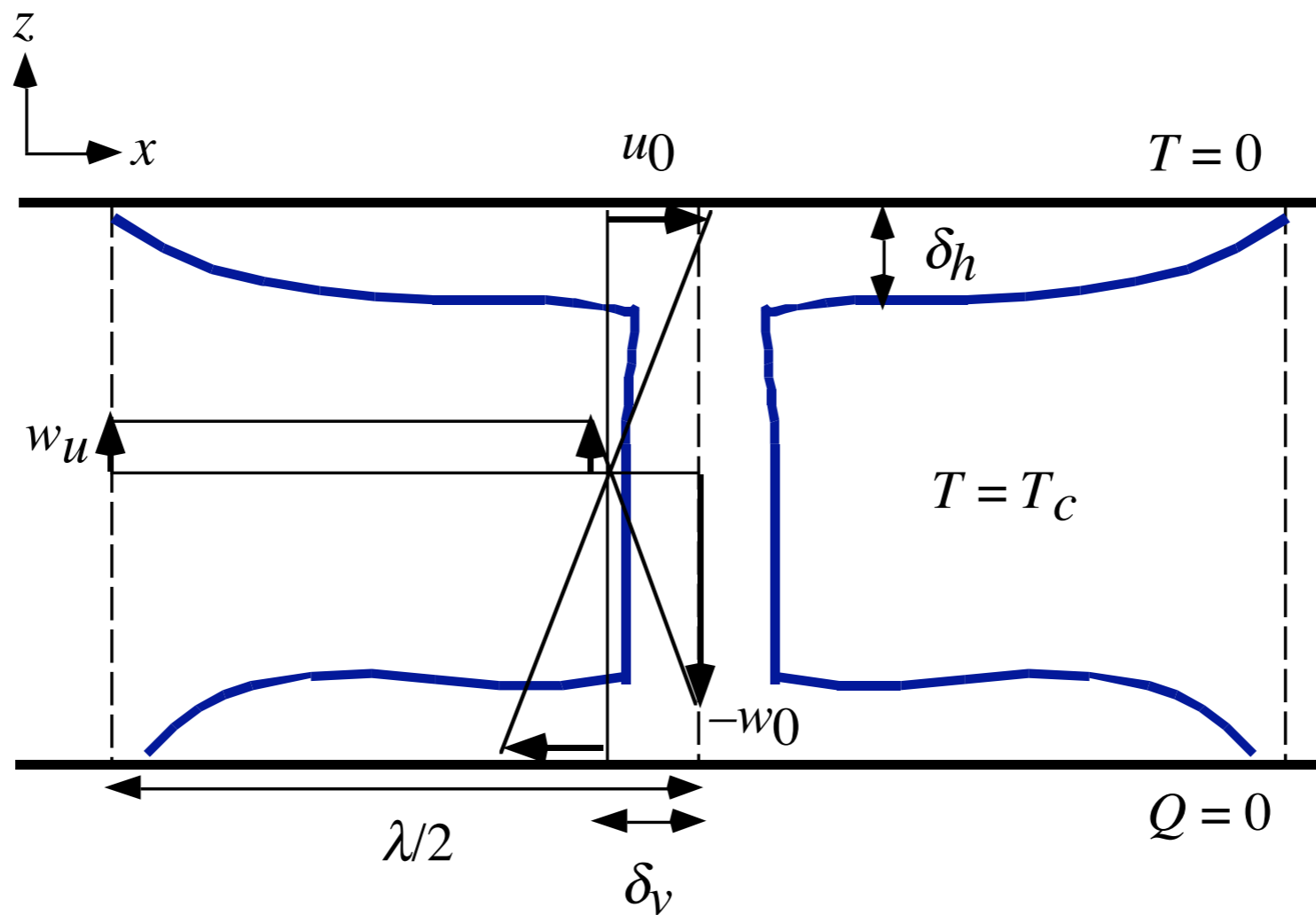
← 浮力  
← 粘性抵抗



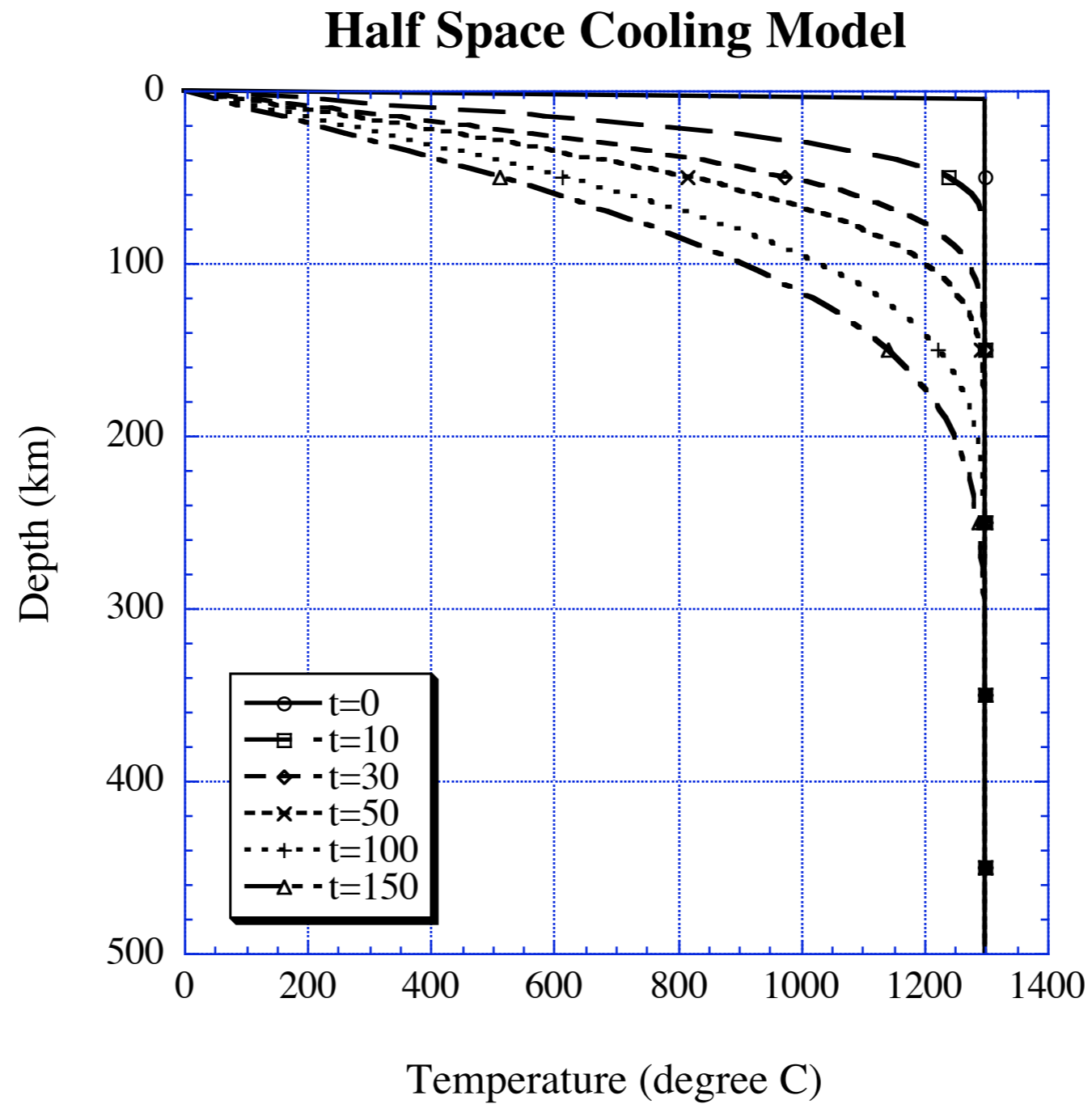
# 内部熱源のみに加熱されるマントル対流

内部加熱によるレイリー数  $Ra_H$

$$Ra_H = RaH = \frac{\rho_0 \alpha g h^5 H}{\eta_0 \kappa k}$$

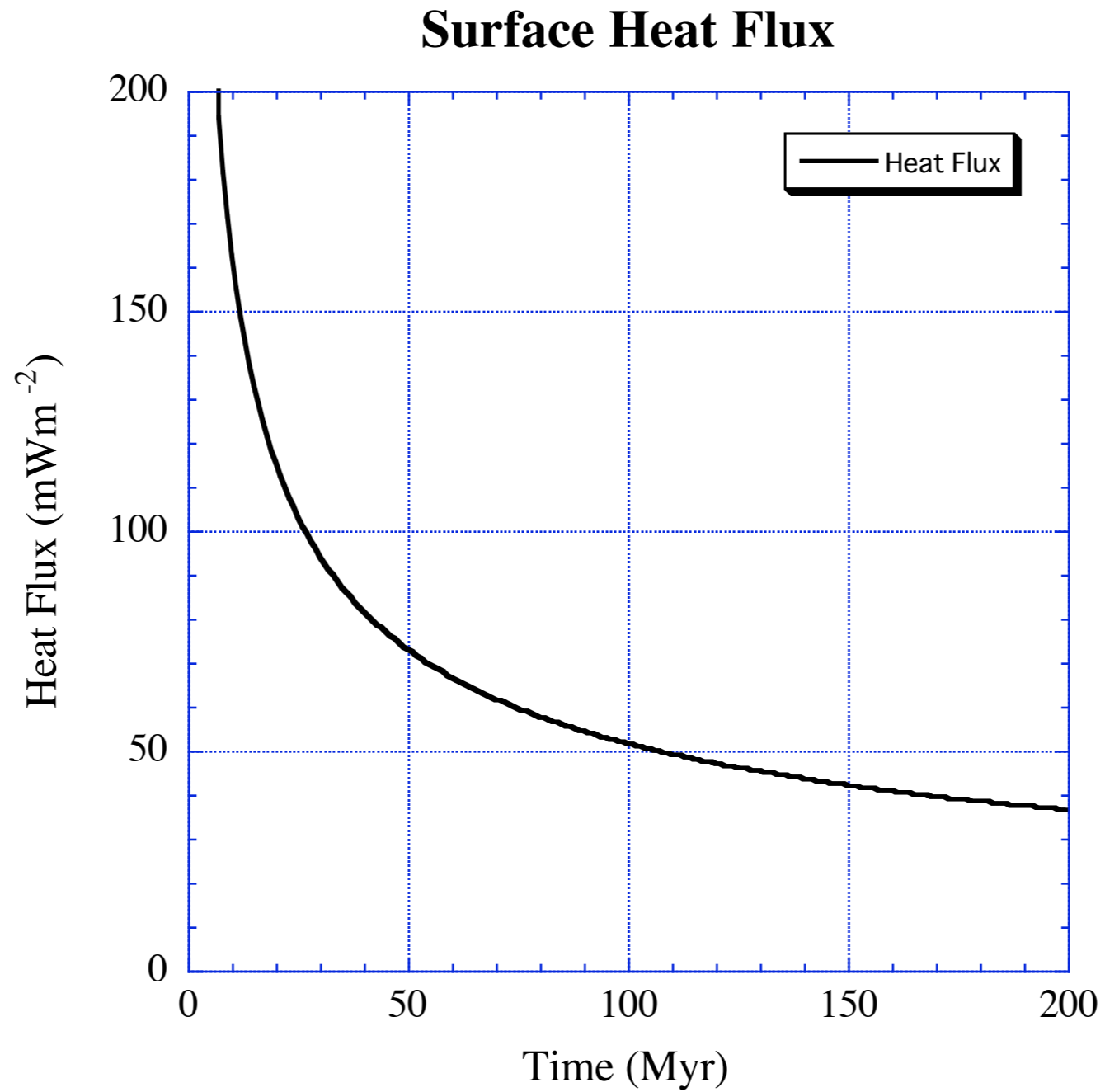


# 半無限体冷却モデルによるプレートの温度





# 半無限体冷却モデルによる地殻熱流量

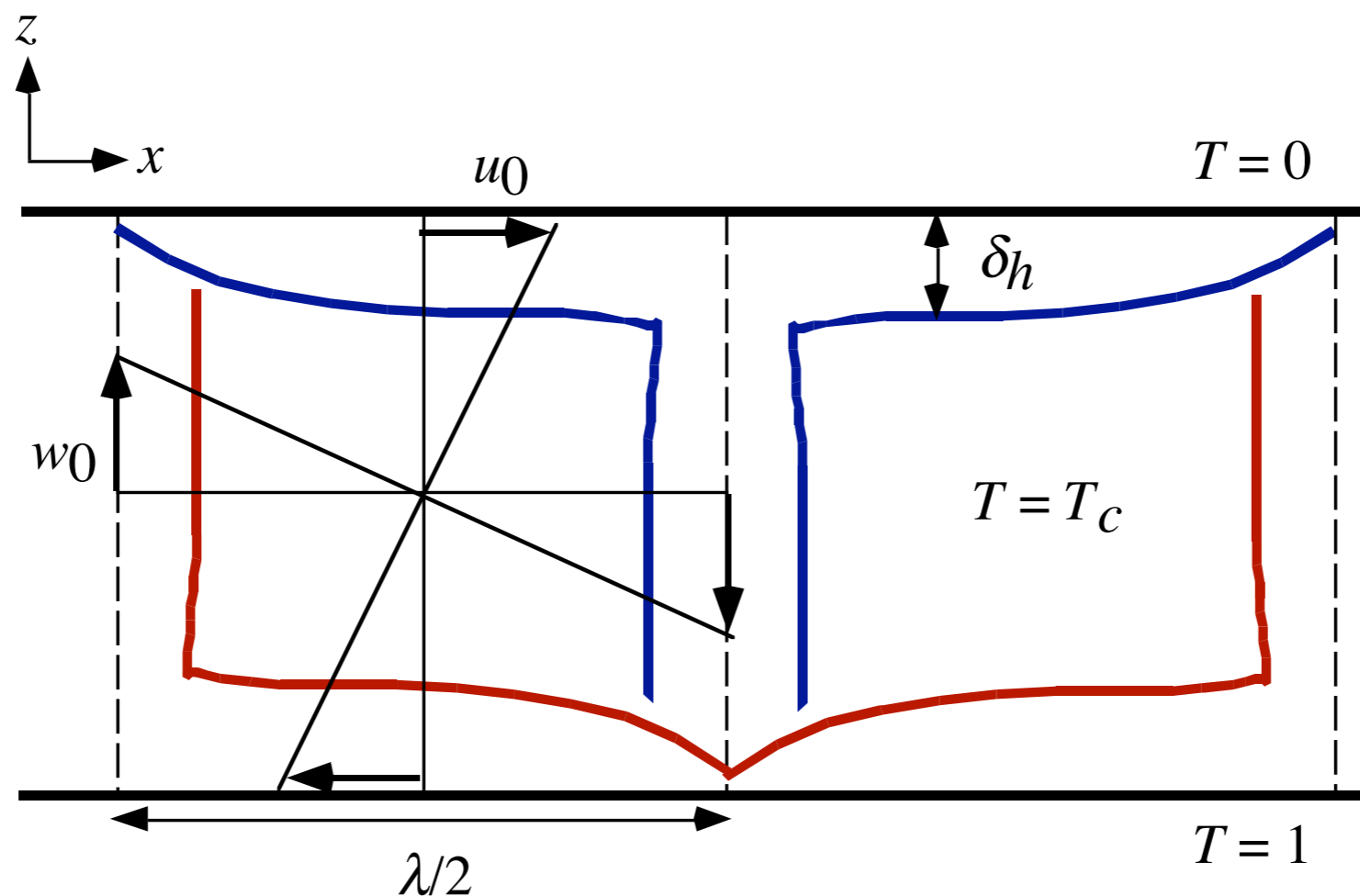


# レイリー数とレイリー・ベナール対流

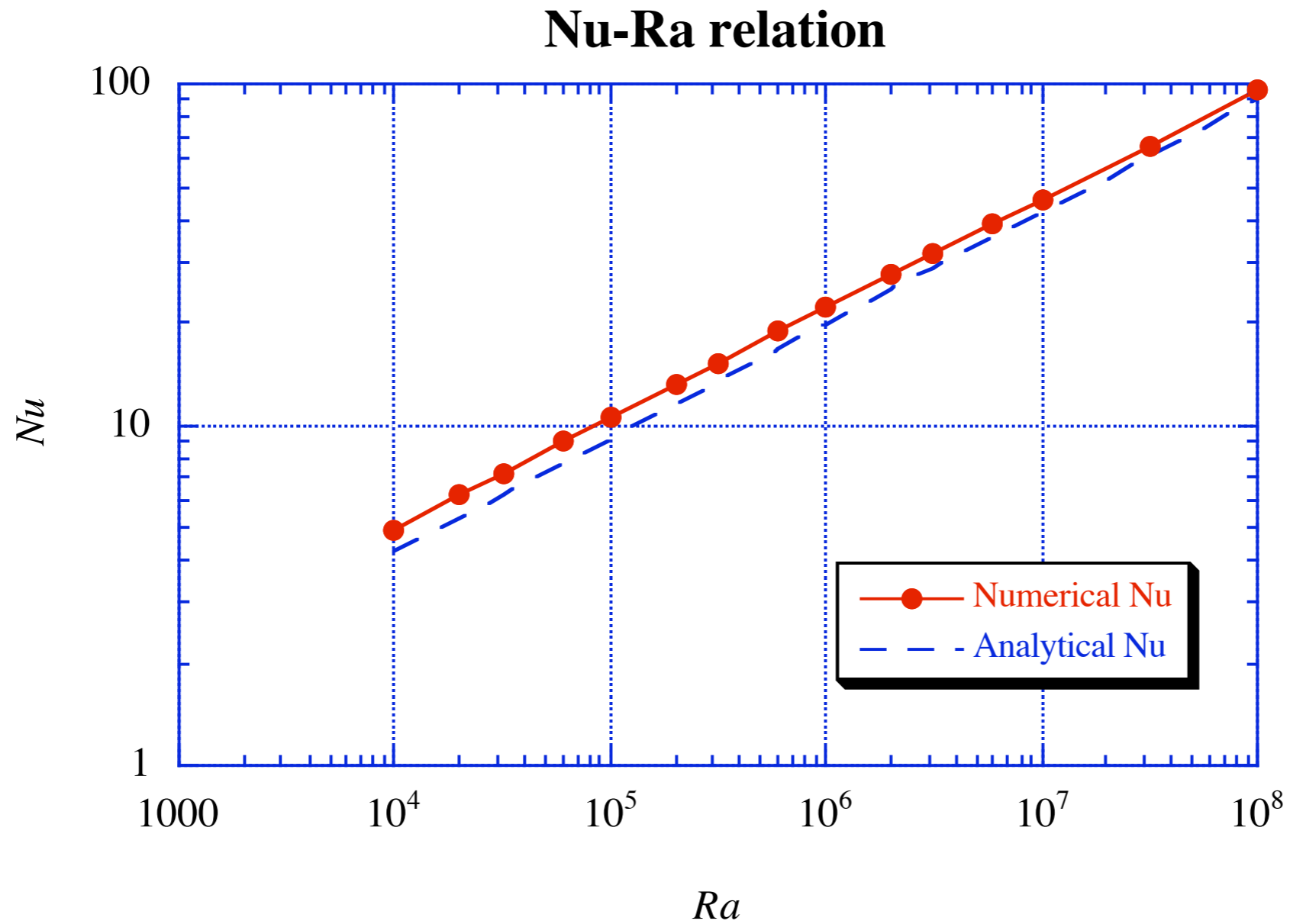
熱レイリー数  $Ra$

$$Ra = \frac{\rho_0 \alpha \Delta T g h^3}{\eta \kappa}$$

← 浮力  
← 粘性抵抗



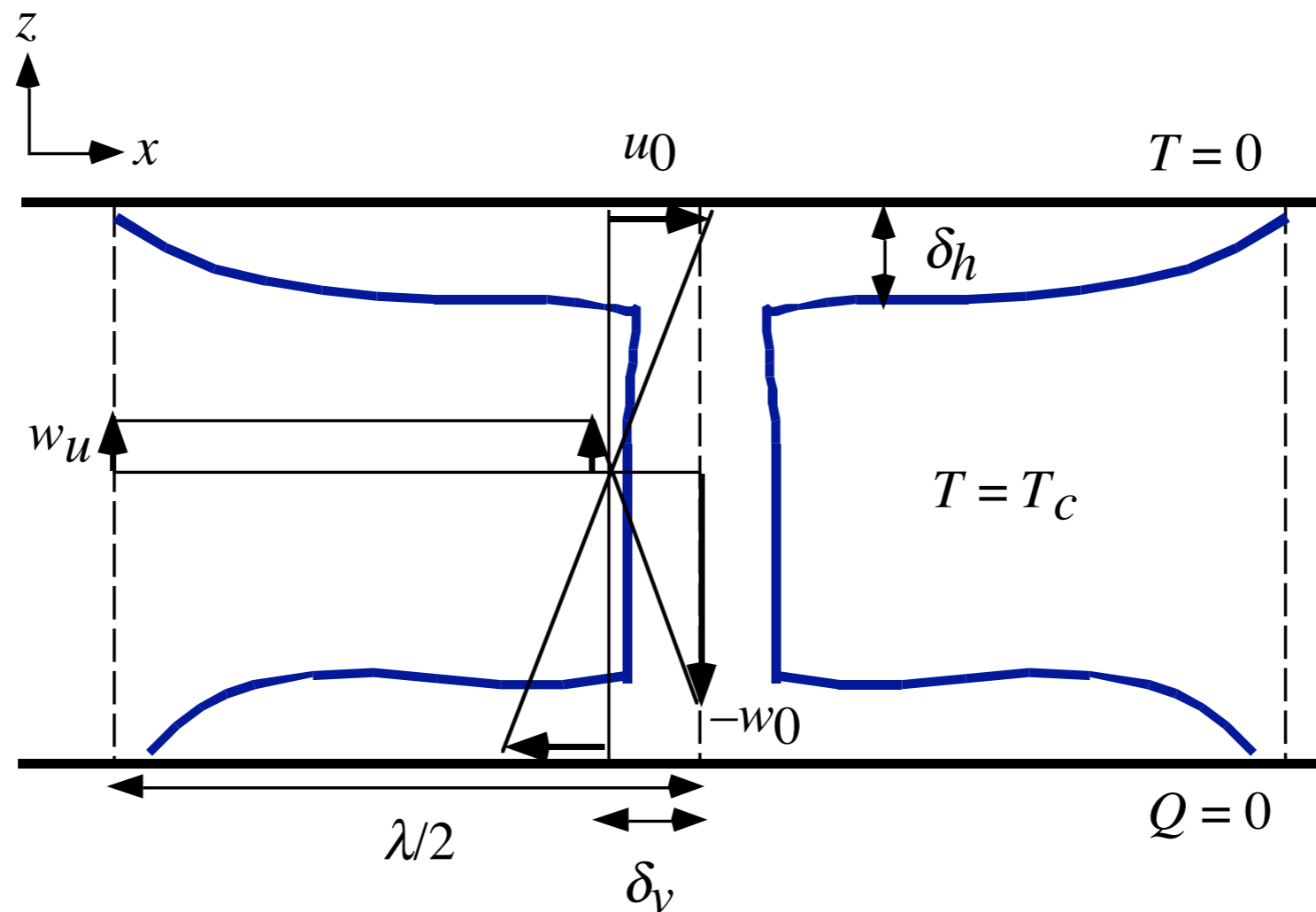
# レイリー数とヌッセルト数の関係



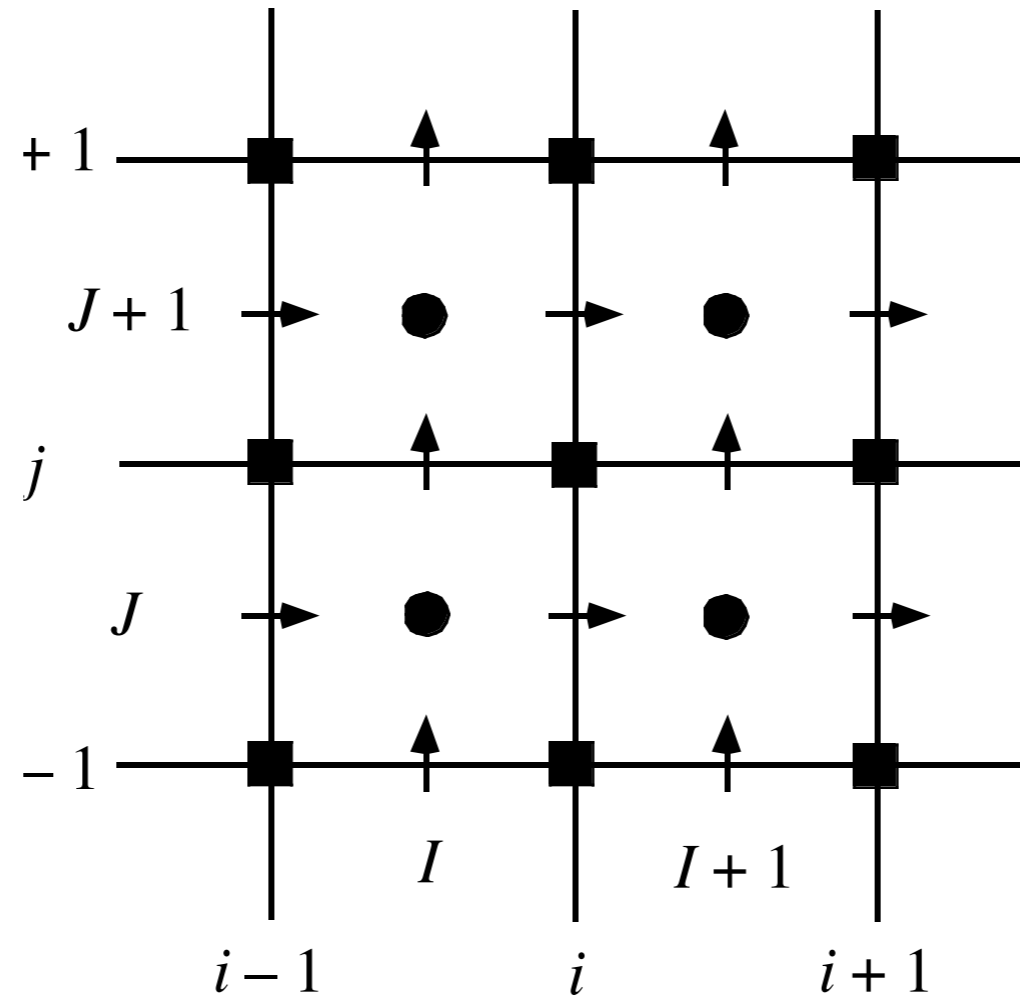
# 内部熱源のみに加熱されるマントル対流

内部加熱によるレイリー数  $Ra_H$

$$Ra_H = RaH = \frac{\rho_0 \alpha g h^5 H}{\eta_0 \kappa k}$$



# メッシュの構造



■ 流線・渦度      ● 圧力・温度・相・組成  
→ 水平速度      ↑ 垂直速度

食い違い格子 (staggered grid)

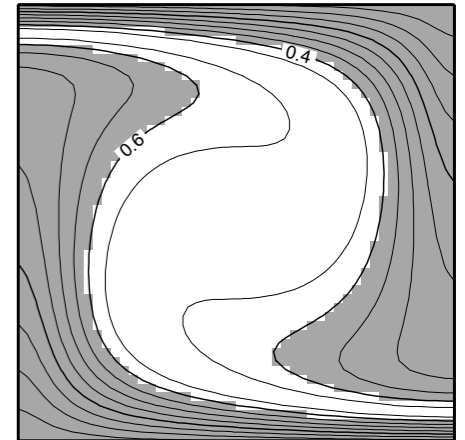
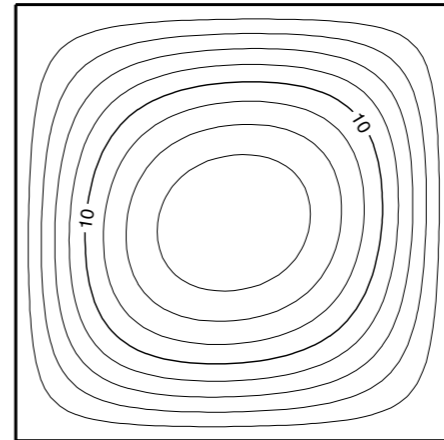
# レイリー数変化

熱レイリー数  $Ra$

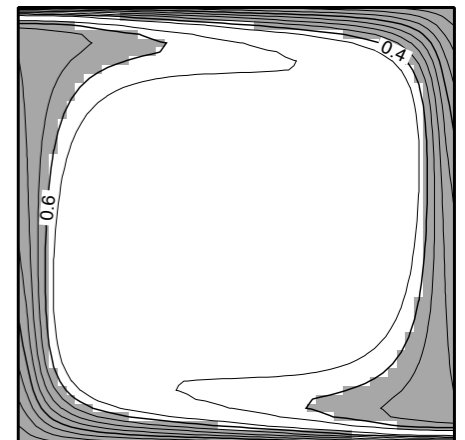
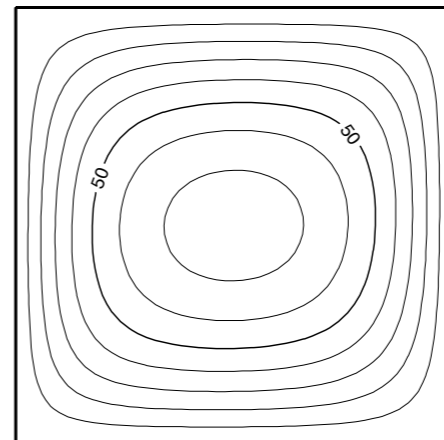
$$Ra = \frac{\rho_0 \alpha \Delta T g h^3}{\eta \kappa}$$

← 浮力  
← 粘性抵抗

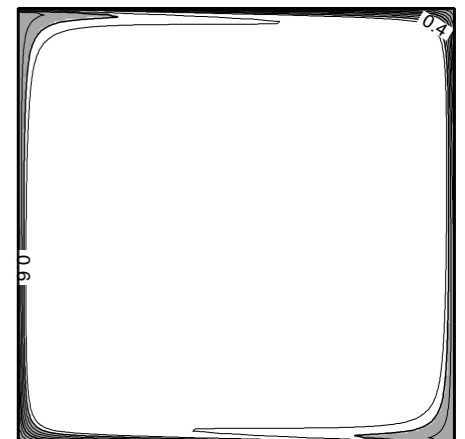
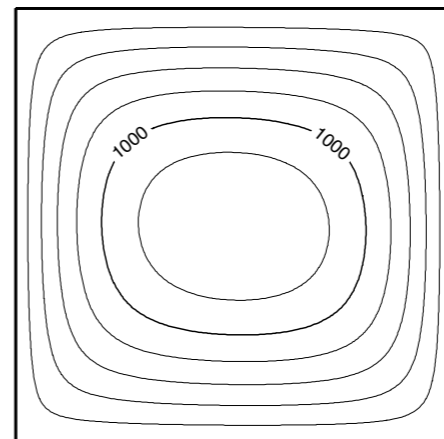
$Ra = 10^4$



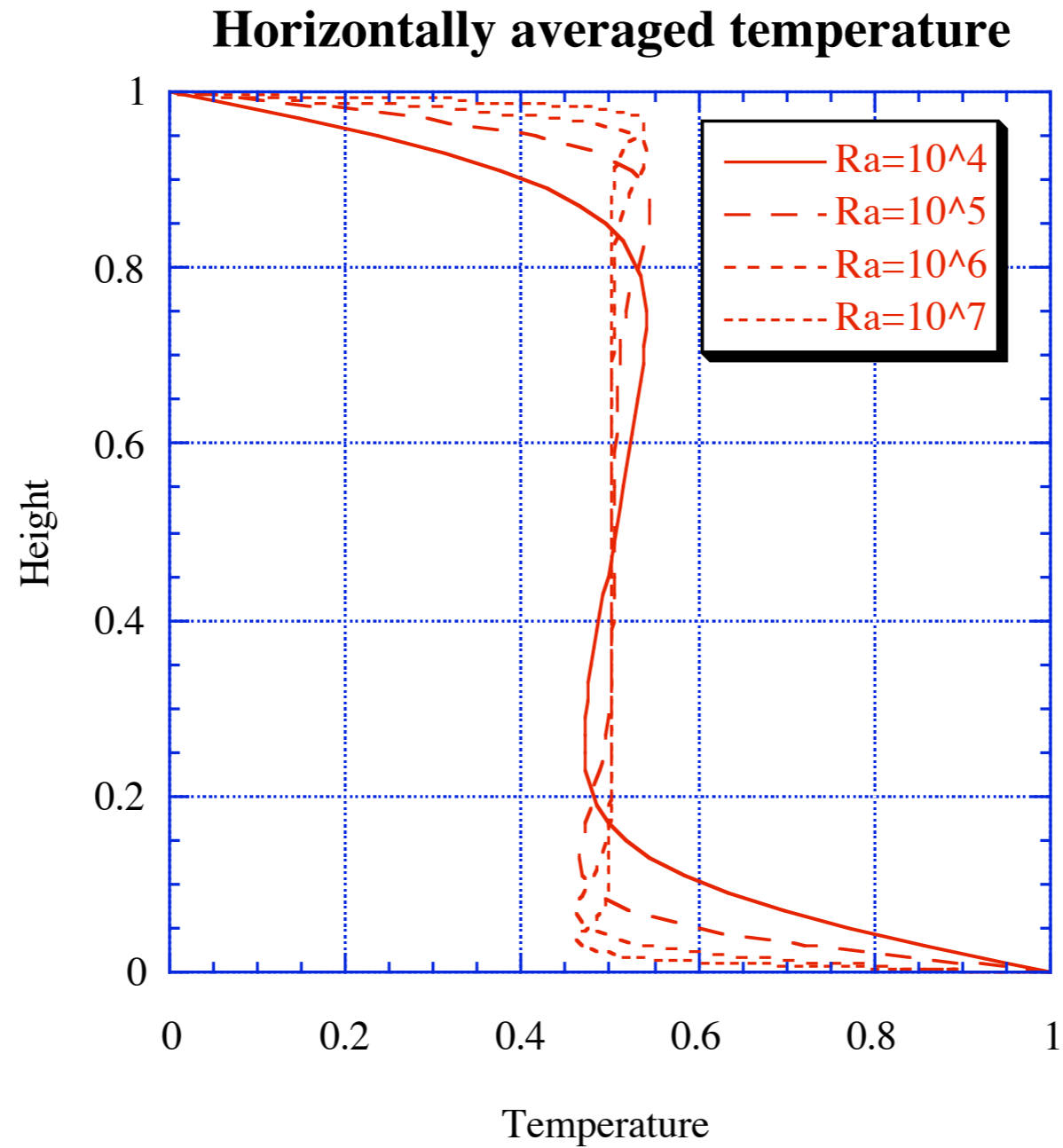
$Ra = 10^5$



$Ra = 10^7$

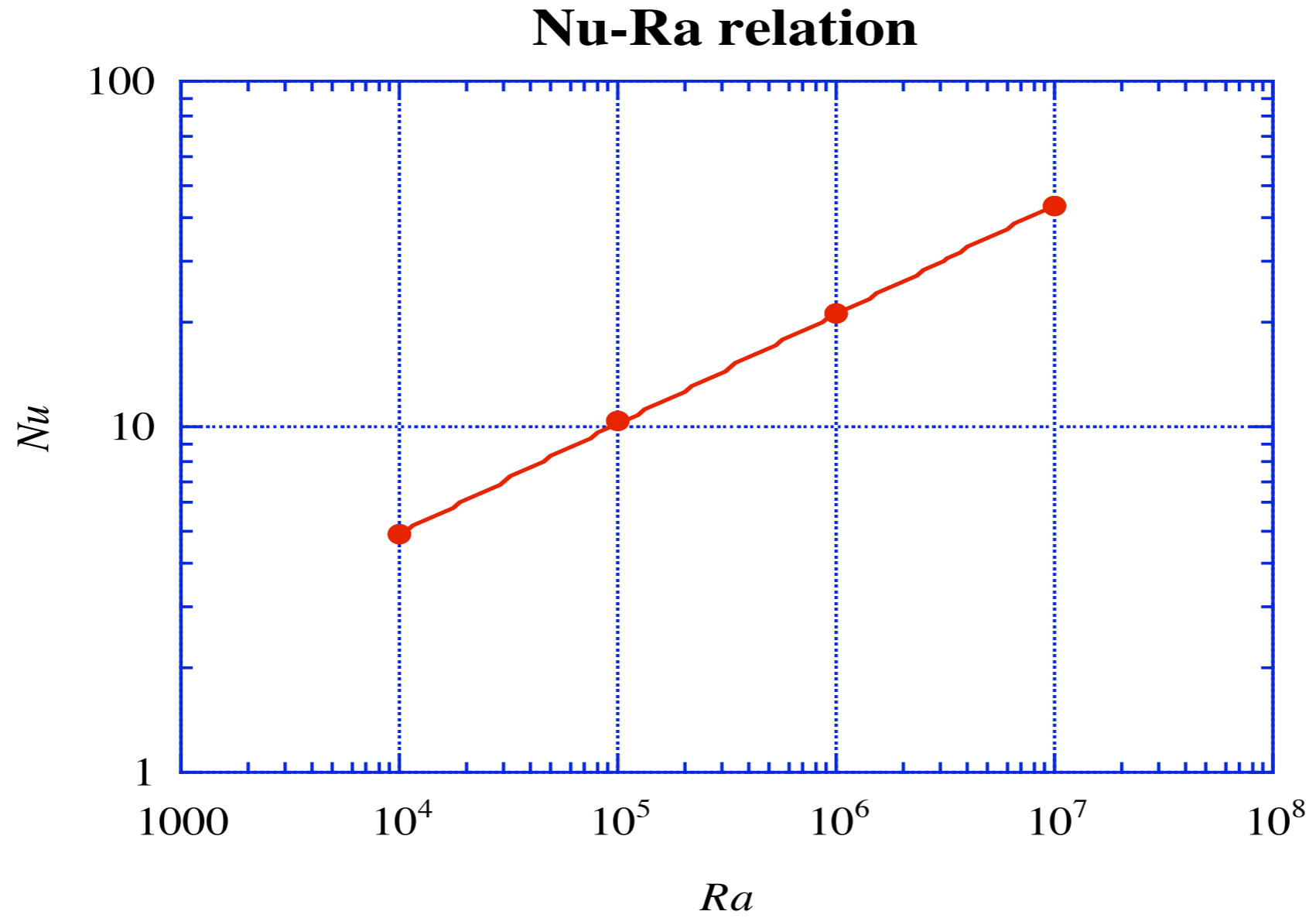


# 平均温度: レイリー数の影響



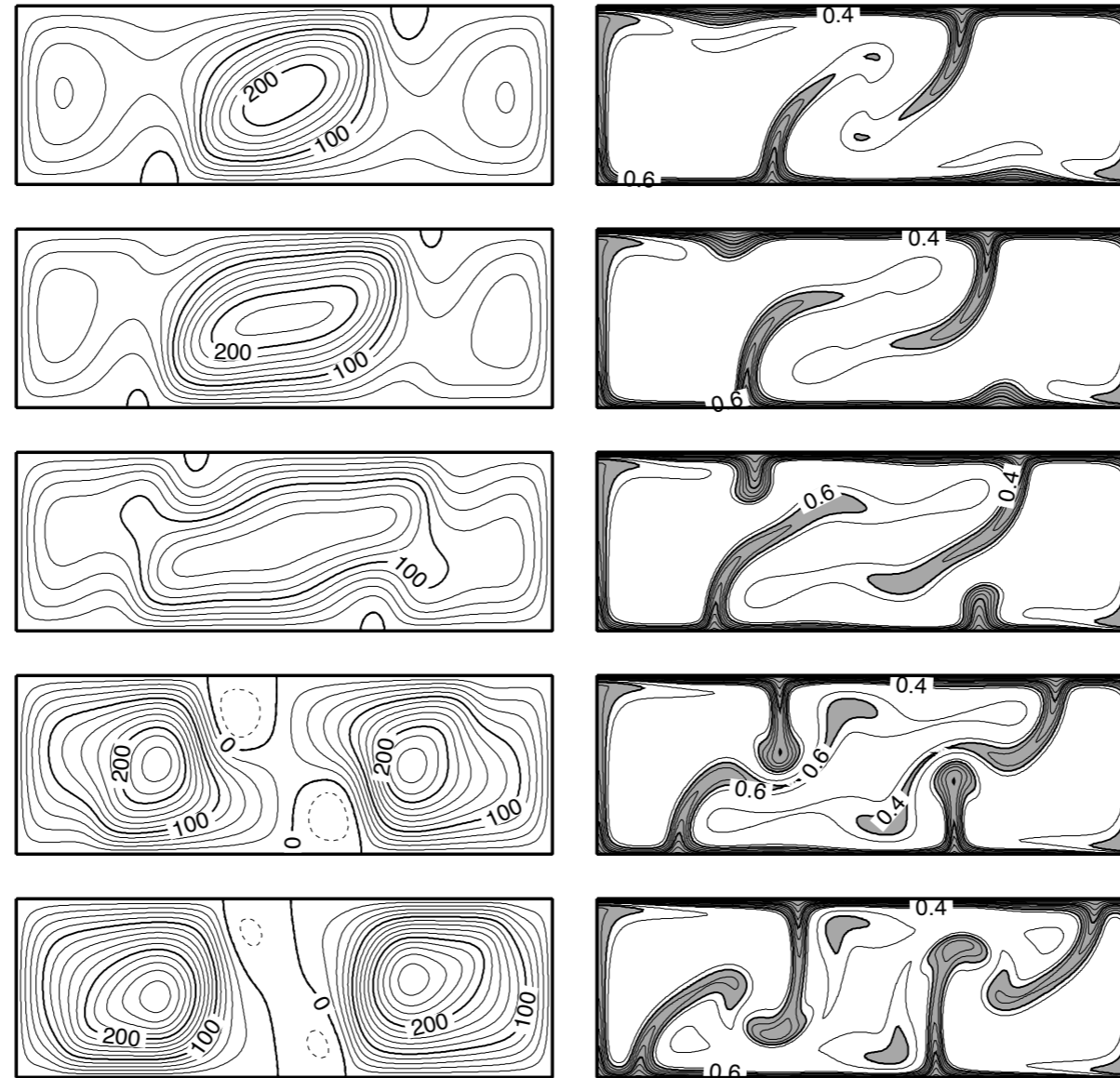
$Ra$ が大きくなると境界層が薄くなる

# ヌッセルト数





# 高アスペクト比の箱: 時間依存対流

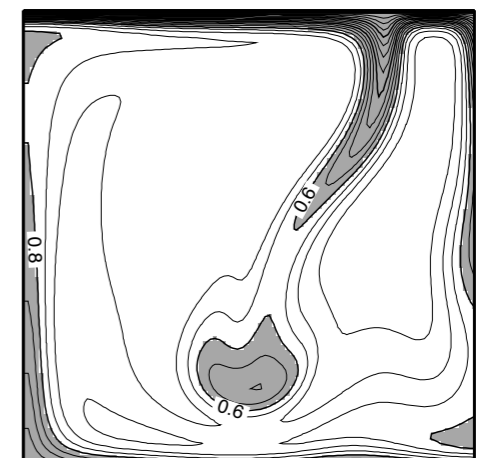
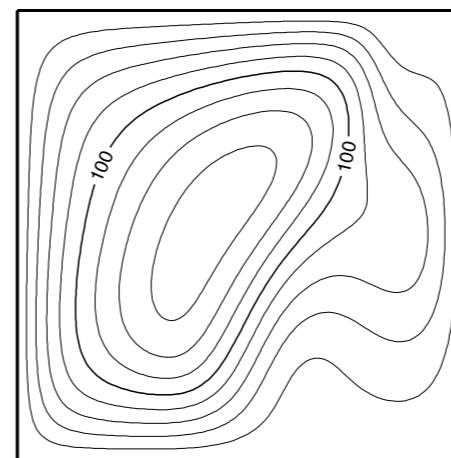
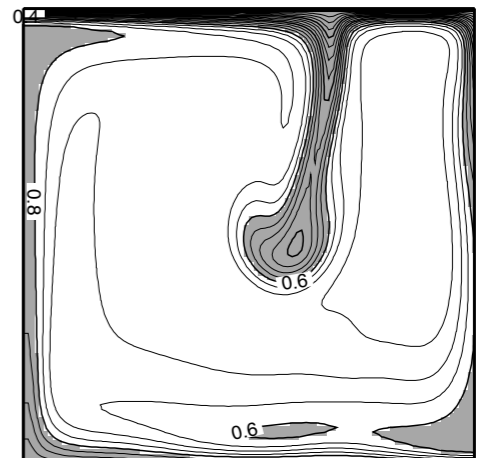
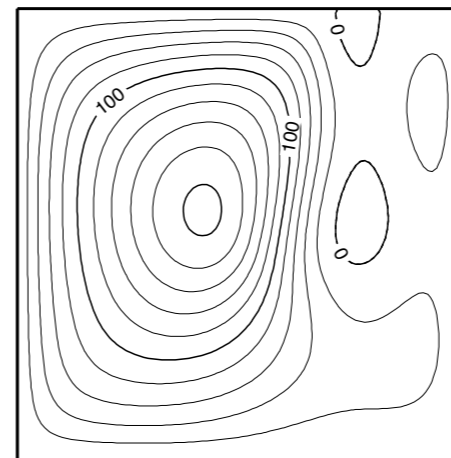
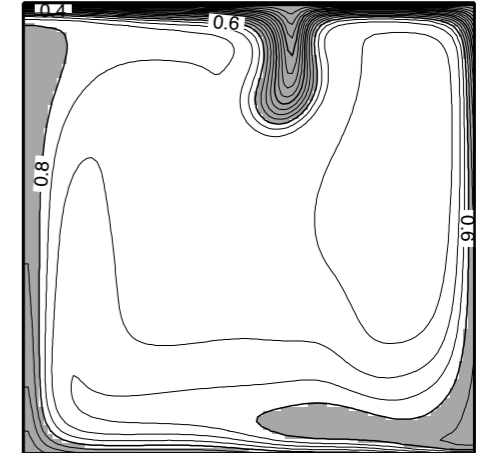
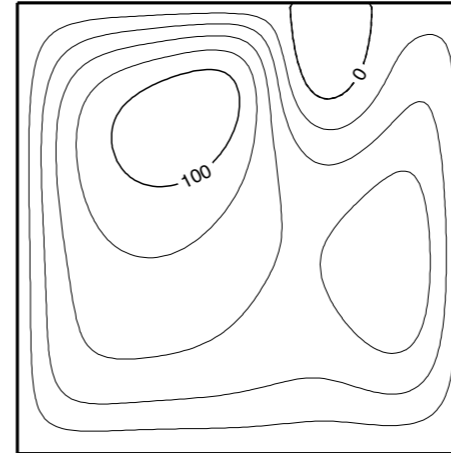


横長の対流は安定しない

# 内部加熱を持つ対流

内部加熱があると上面の境界層が不安定を起こす

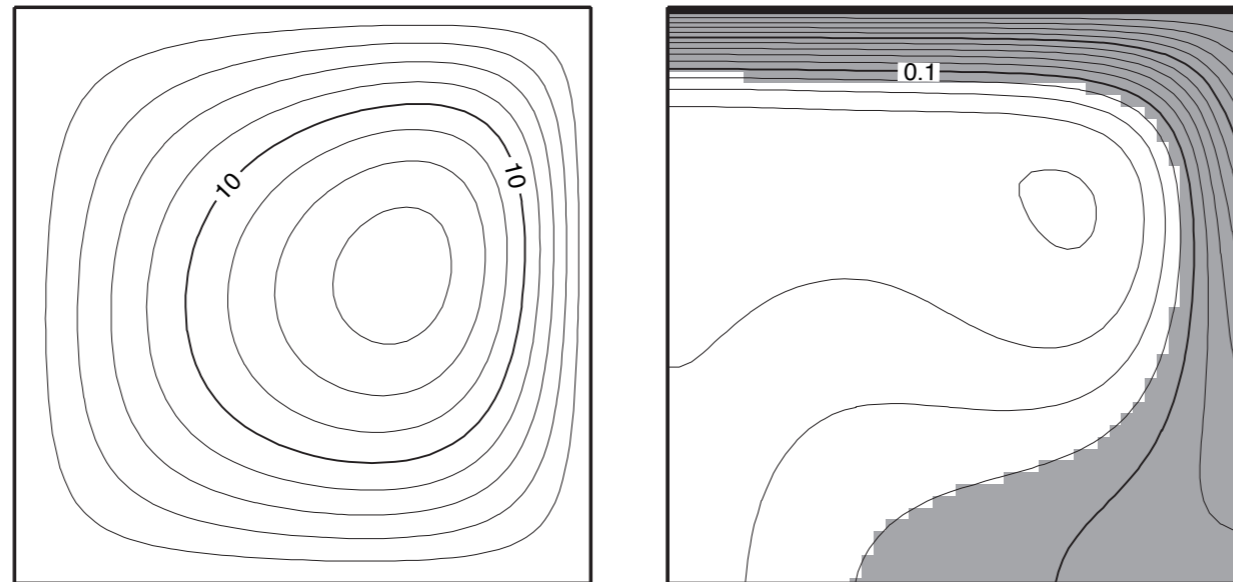
$$Ra = 10^6$$
$$H = 10$$



# 内部熱源のみに加熱される対流

内部加熱レイリー数  $Ra_H$

$$Ra_H = \frac{\rho_0 \alpha g h^5 H}{\eta_0 \kappa k}$$



$$Ra_H = 10^5$$

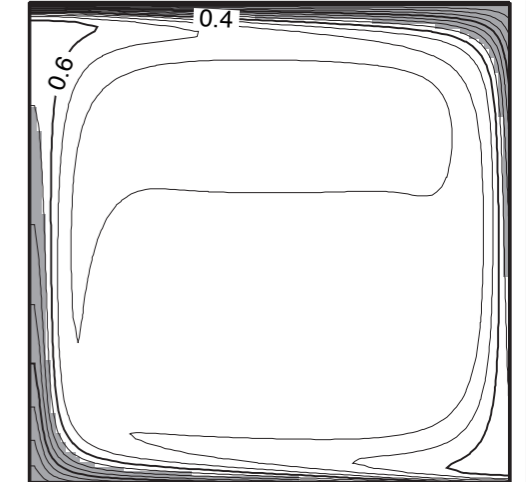
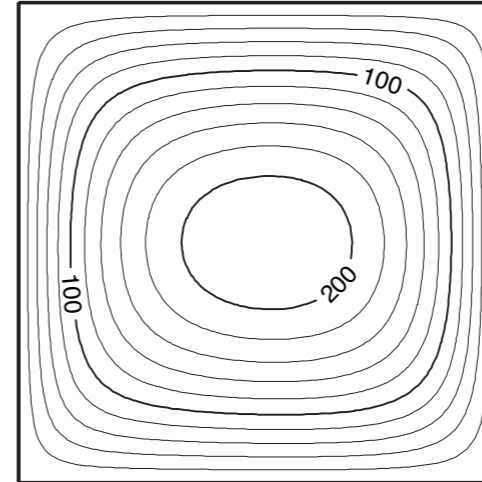
表面の冷却により密度の高い境界層が形成され落下する

# 圧縮性の影響を持つ対流

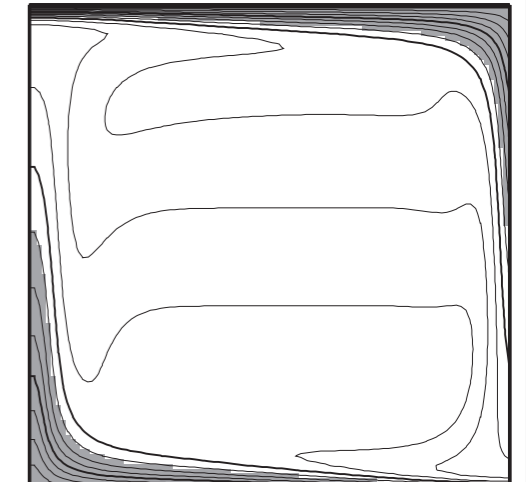
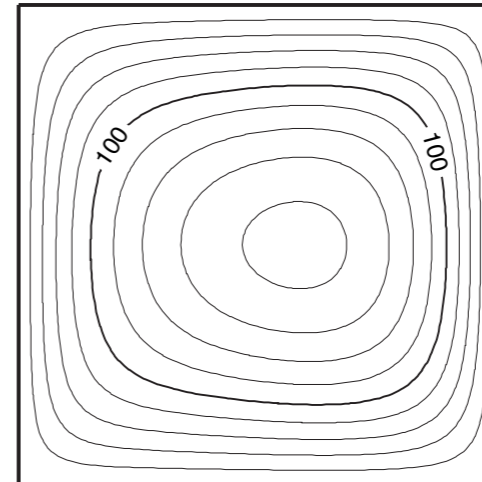
散逸数  $Di$

$$Di = \frac{\alpha gh}{C_p}$$

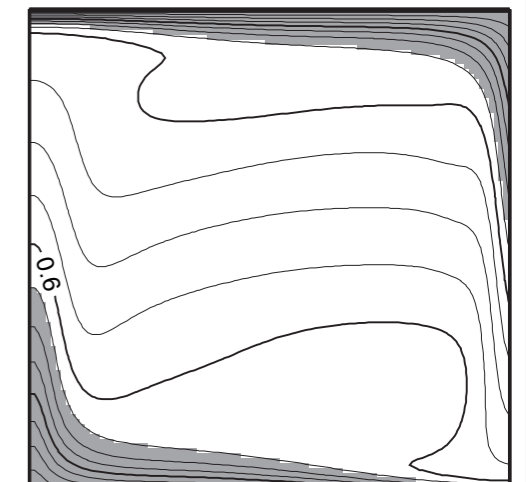
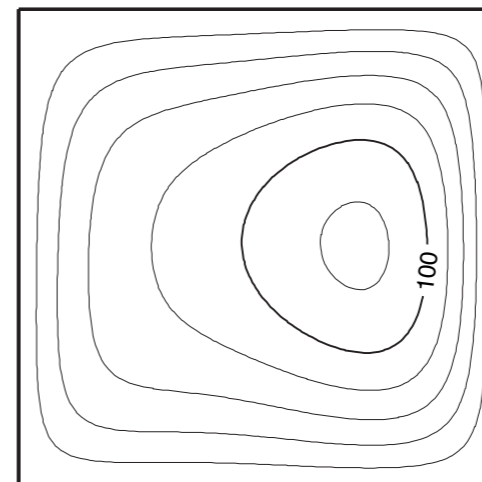
$Di = 0.1$



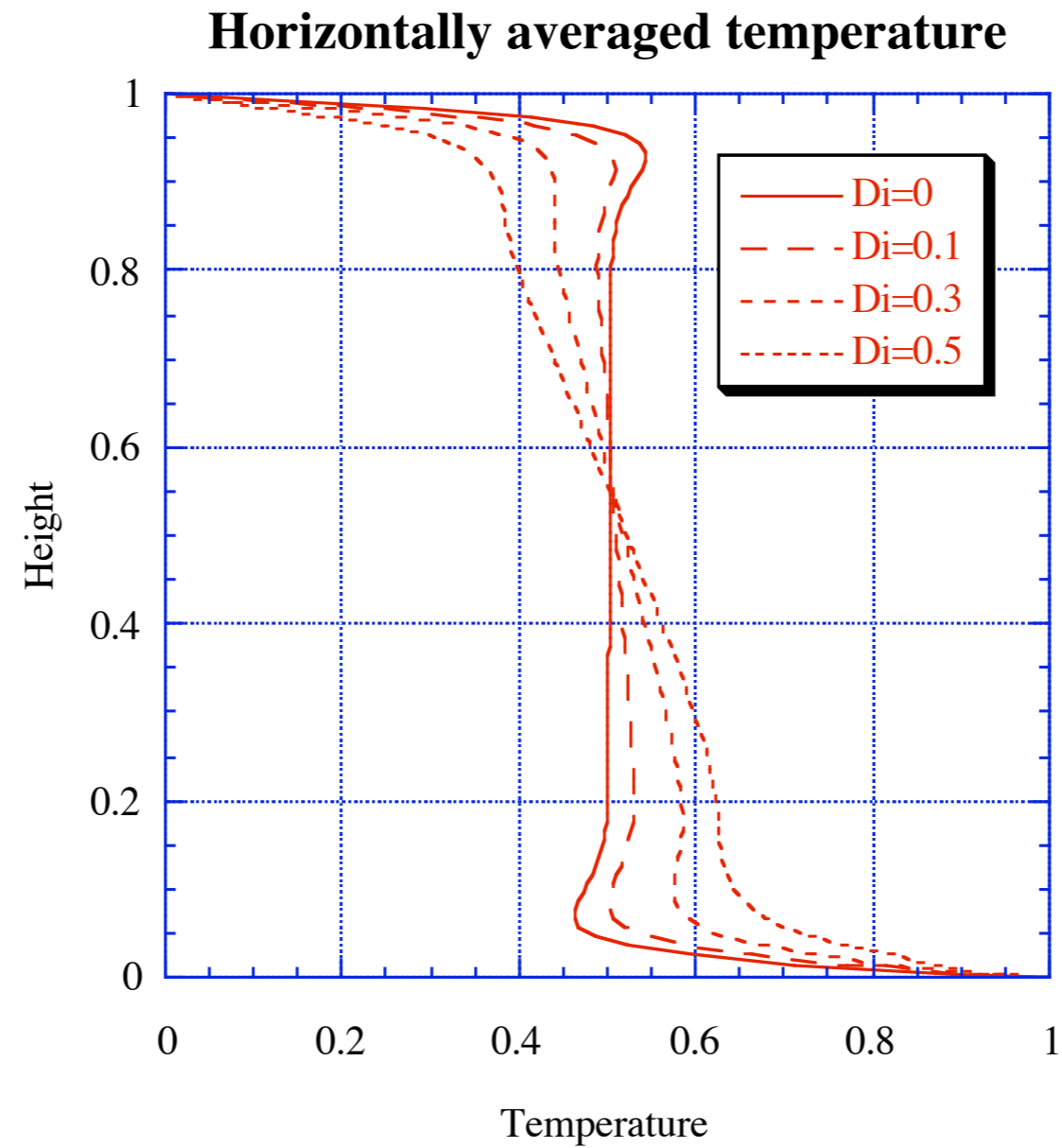
$Di = 0.3$



$Di = 0.5$

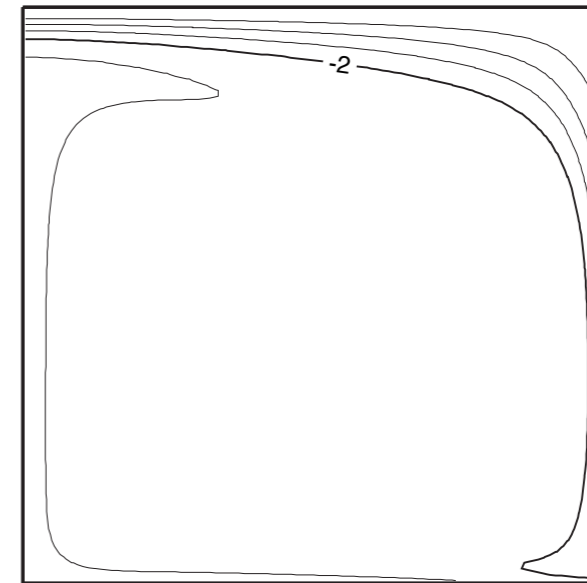
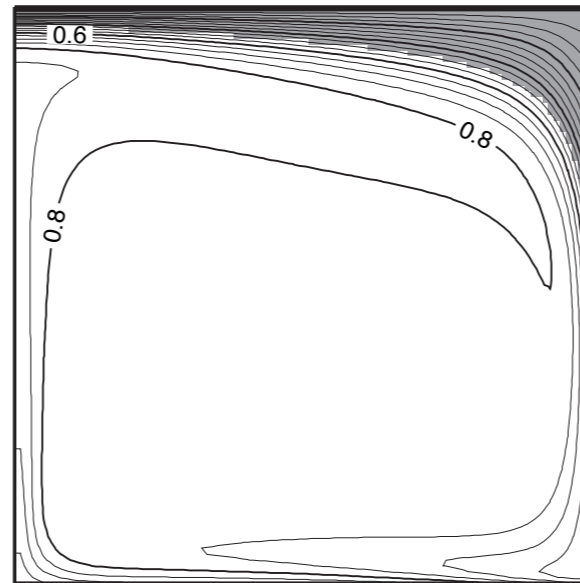
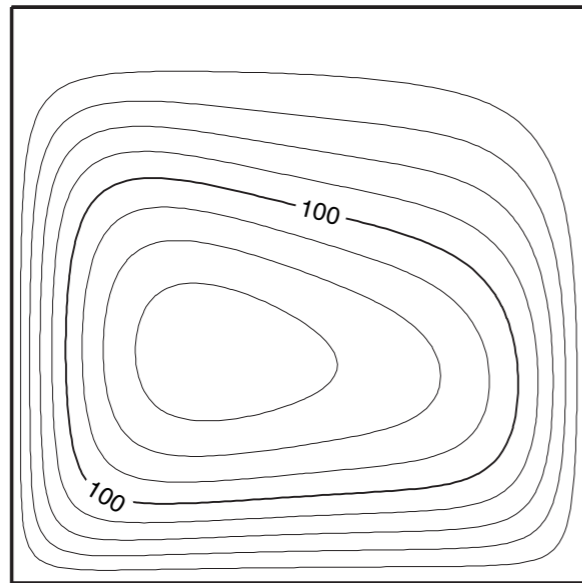
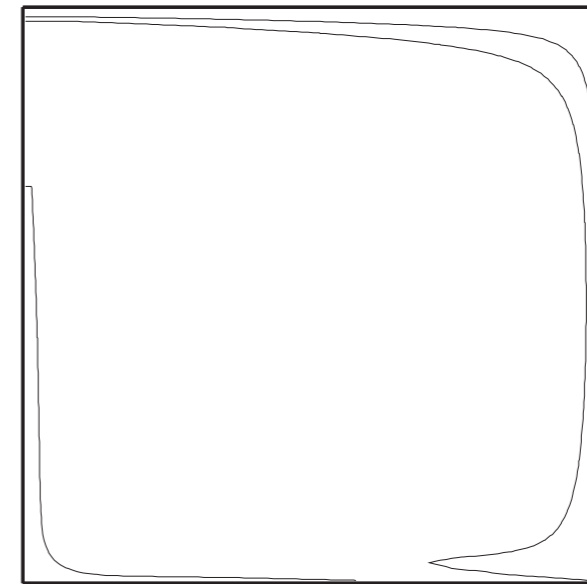
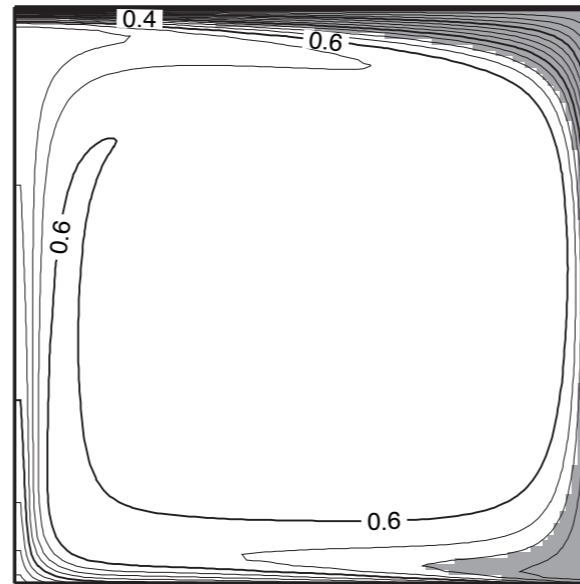
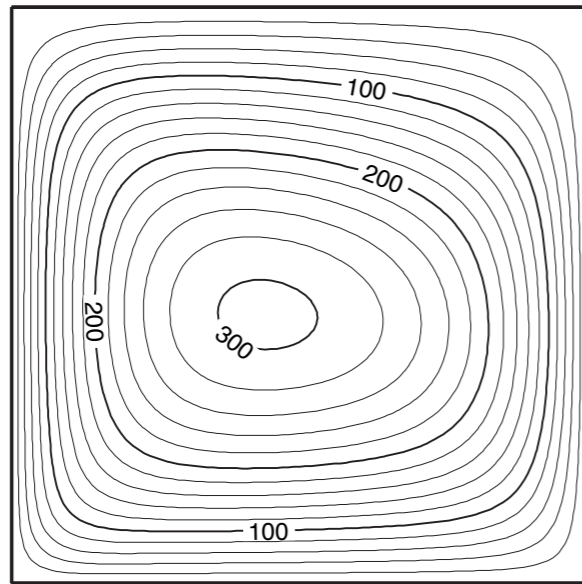


# マントル対流とは？



散逸数が大きくなると断熱温度勾配が増加

# 粘性率の温度依存性を持つ対流



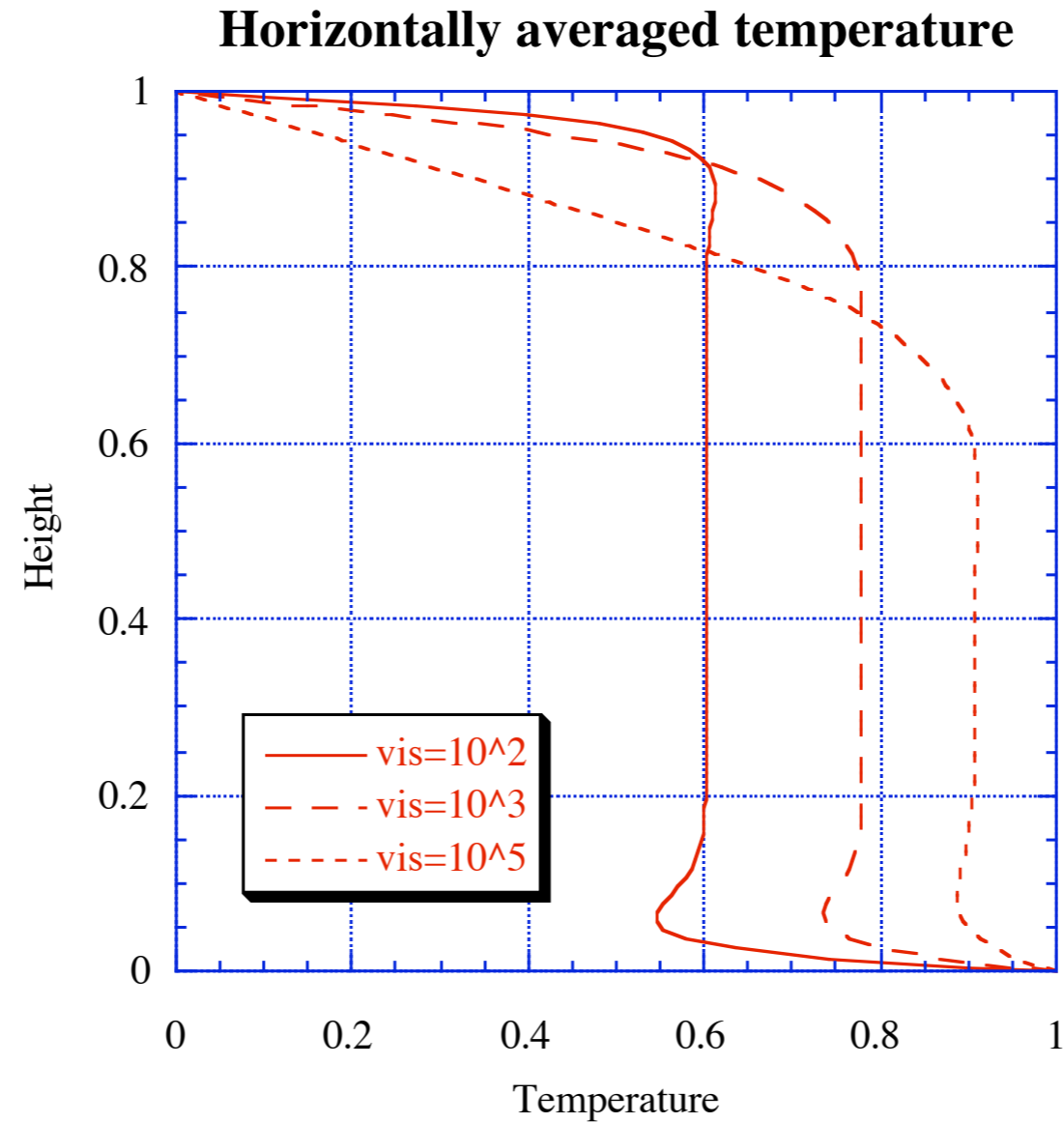
流線

温度

粘性率

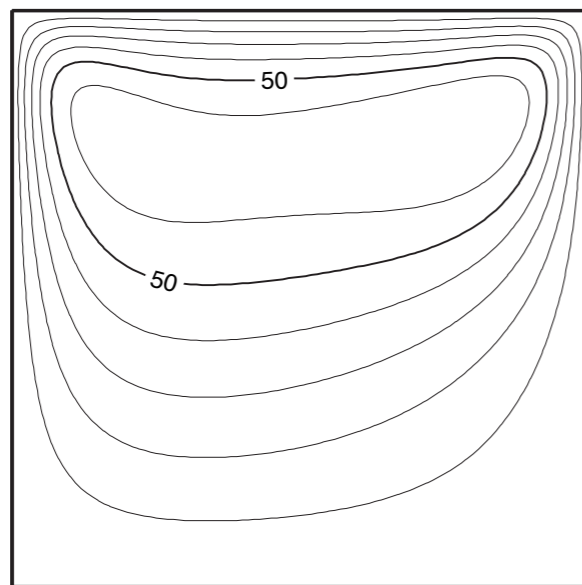
$\eta = \eta_0 \exp[-bT + cz]$ : 表面の粘性が増大

# 粘性率の温度依存性を持つ対流

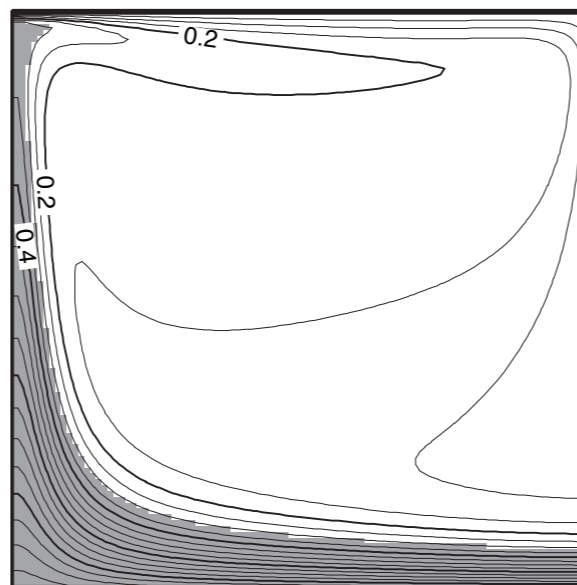


表面が動きにくくなるなると内部の温度が増加

# 粘性率の圧力依存性を持つ対流



流線



温度



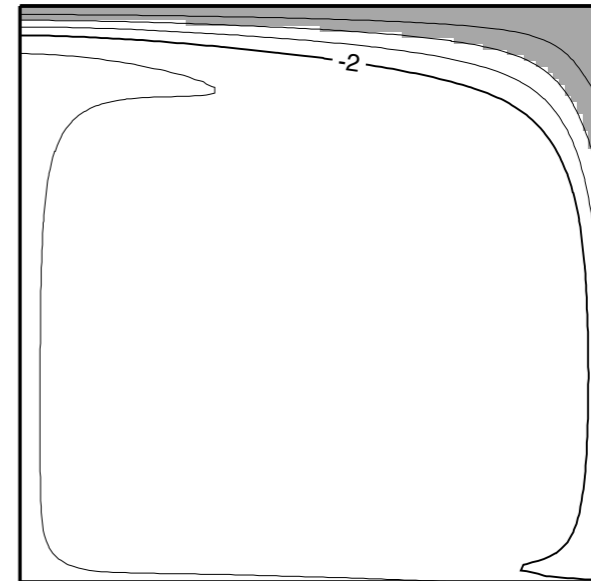
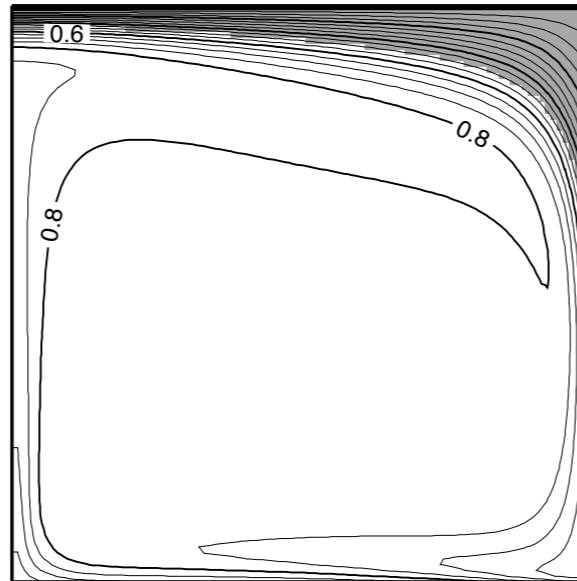
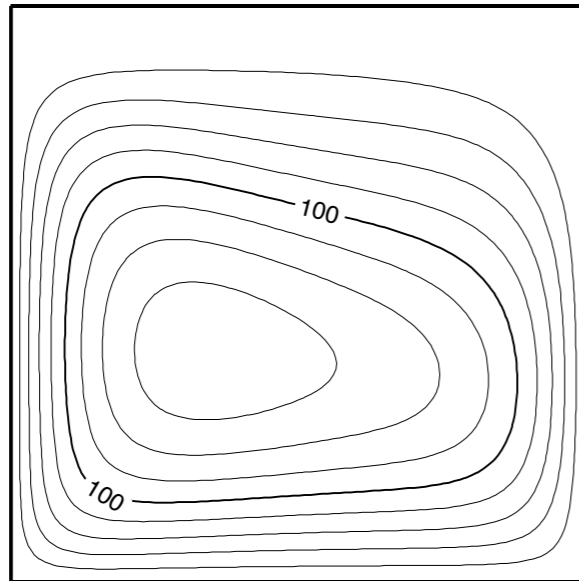
粘性率

マントル深部の動きが遅くなる

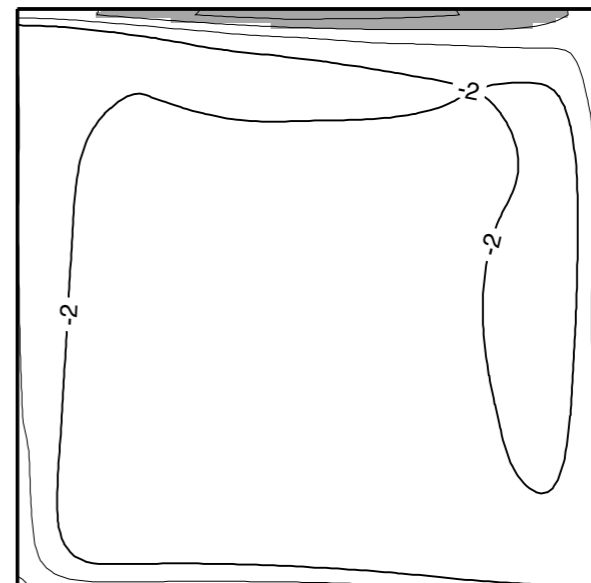
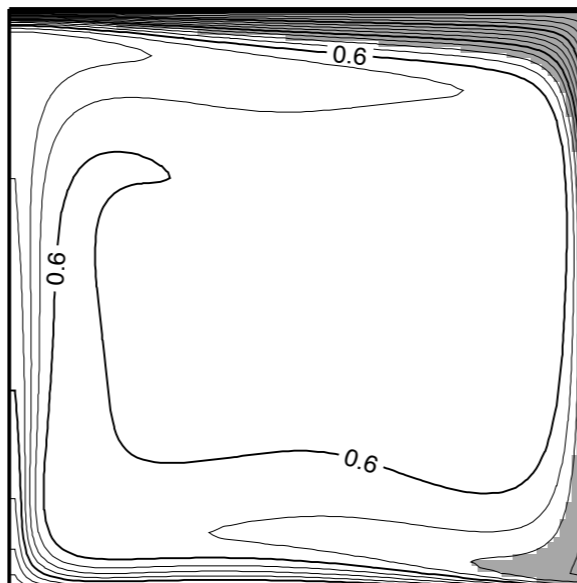
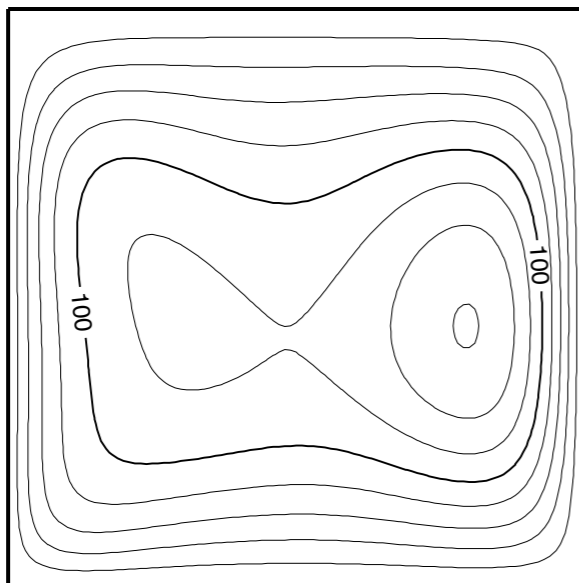


# 応力依存性の効果

## Newtonian



## non-Newtonian



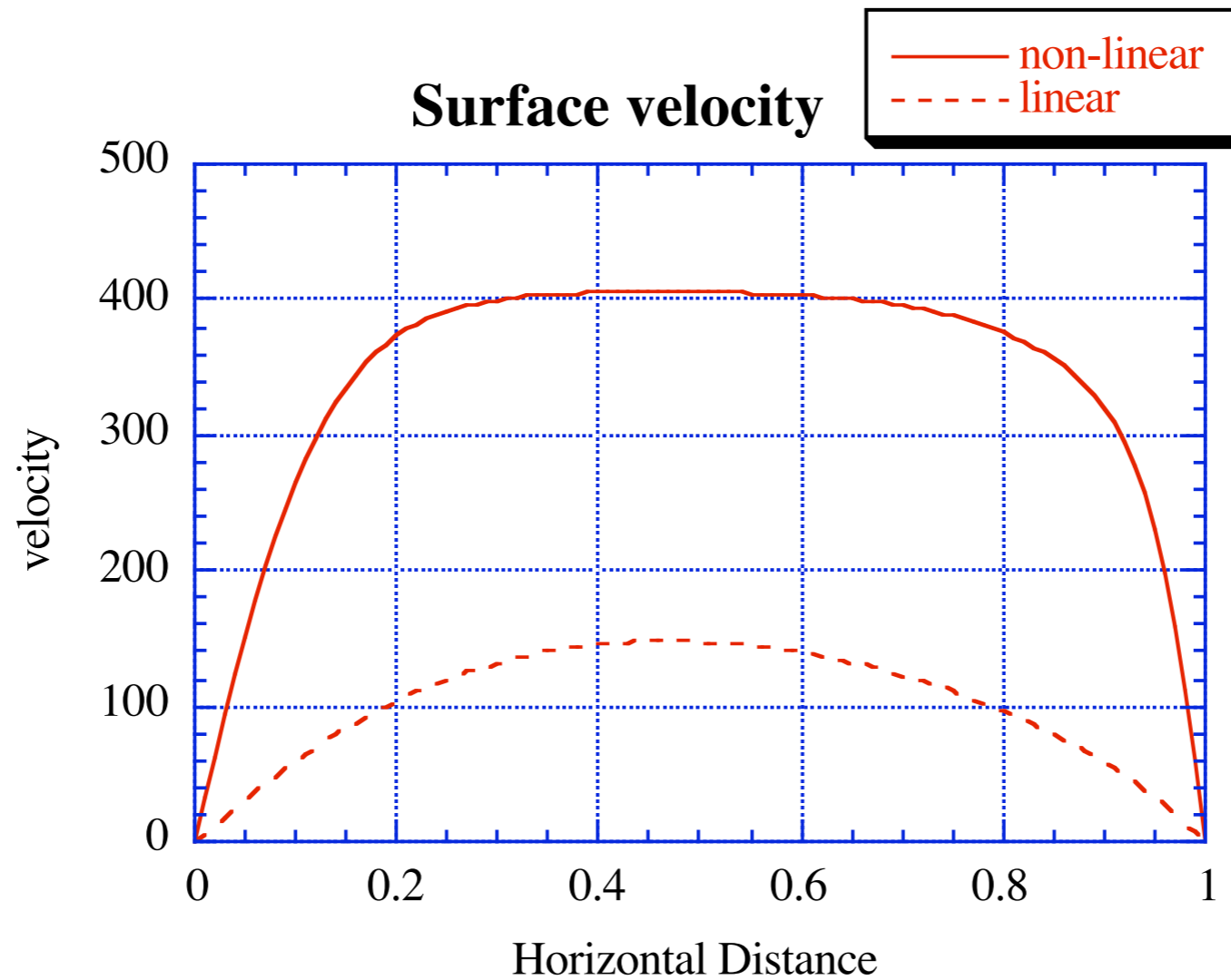
Stream func.

Temperature

Viscosity

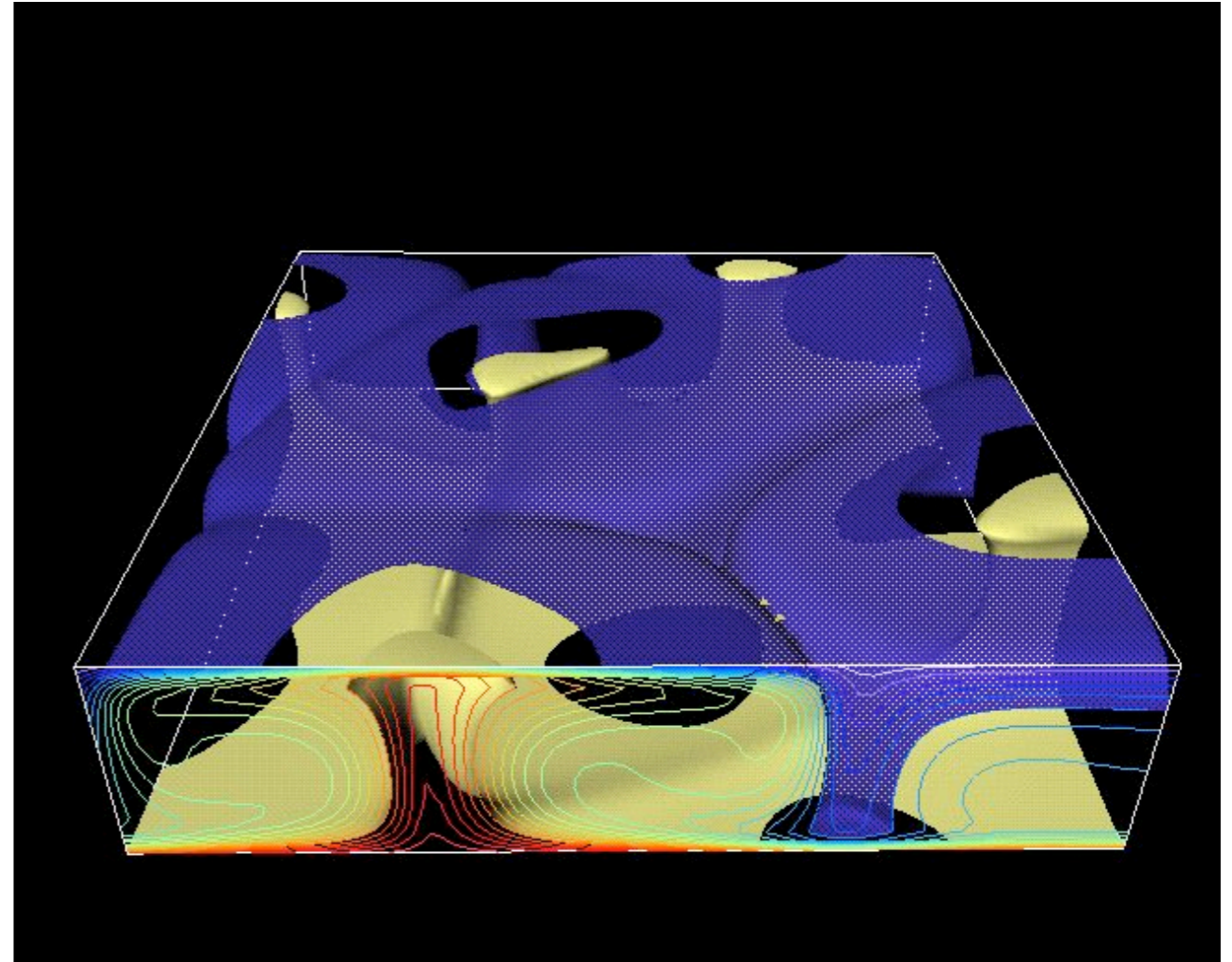
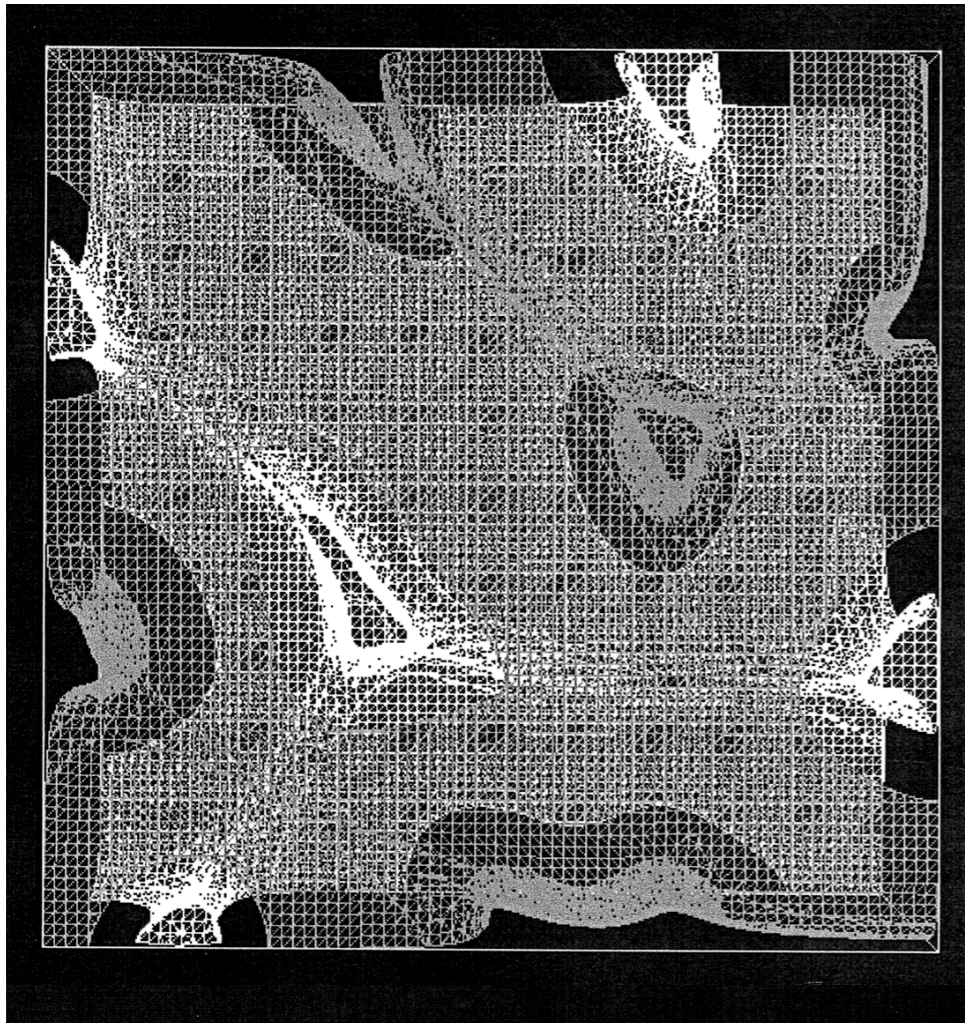
応力依存性の導入により表面の運動が起こる

# 粘性率ル対流と不均マン対流モデル



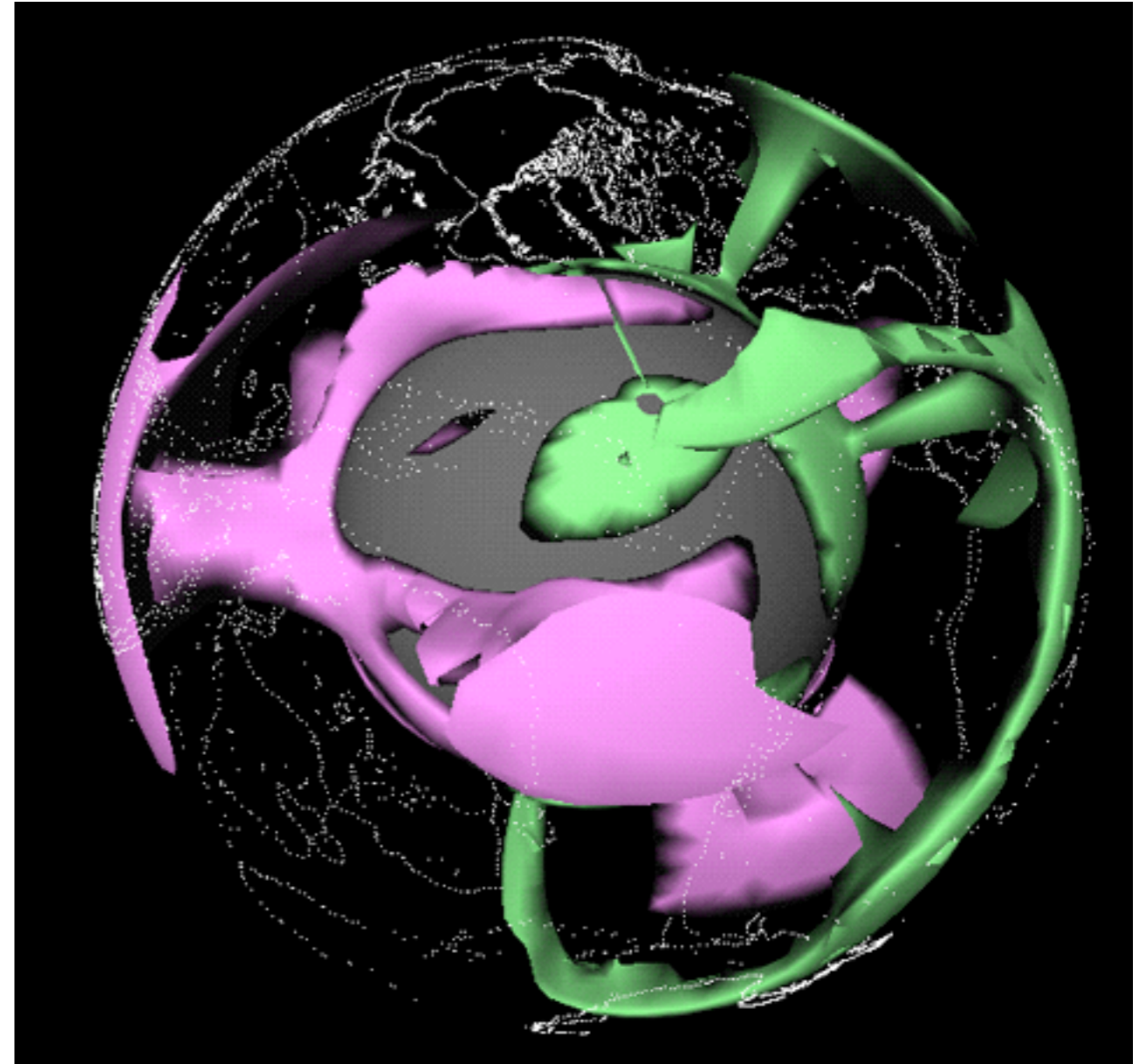
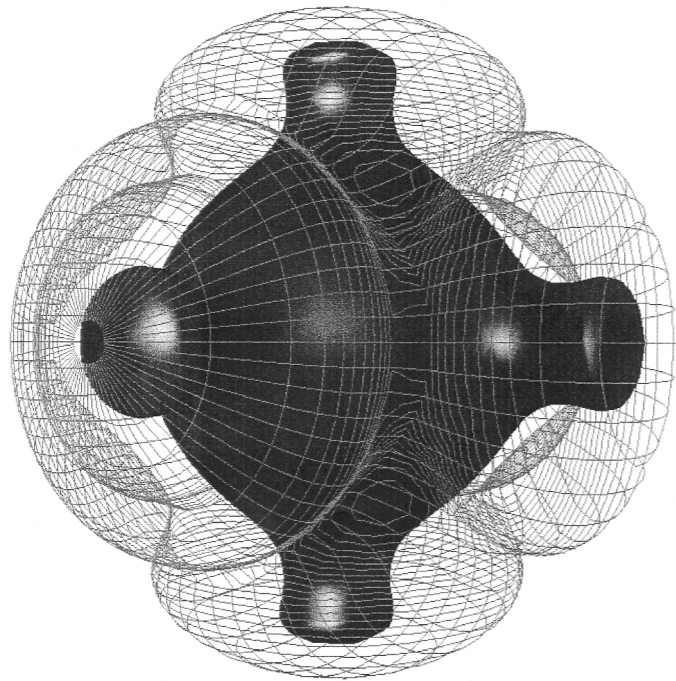
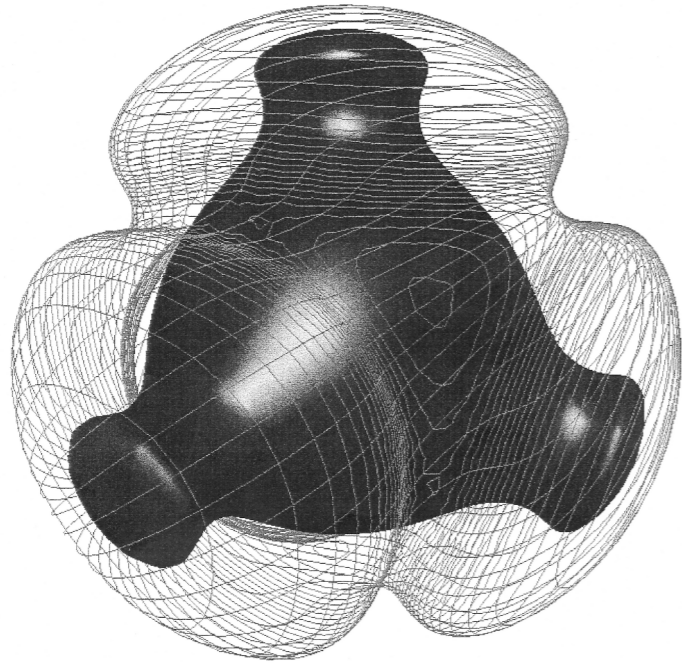
応力依存性の導入により歪み(速度勾配)が集中する

# 粘性率一定の3次元マントル対流箱型モデル



$Ra=3\times 10^4$ 程度で対流は3次元的な構造に変化する

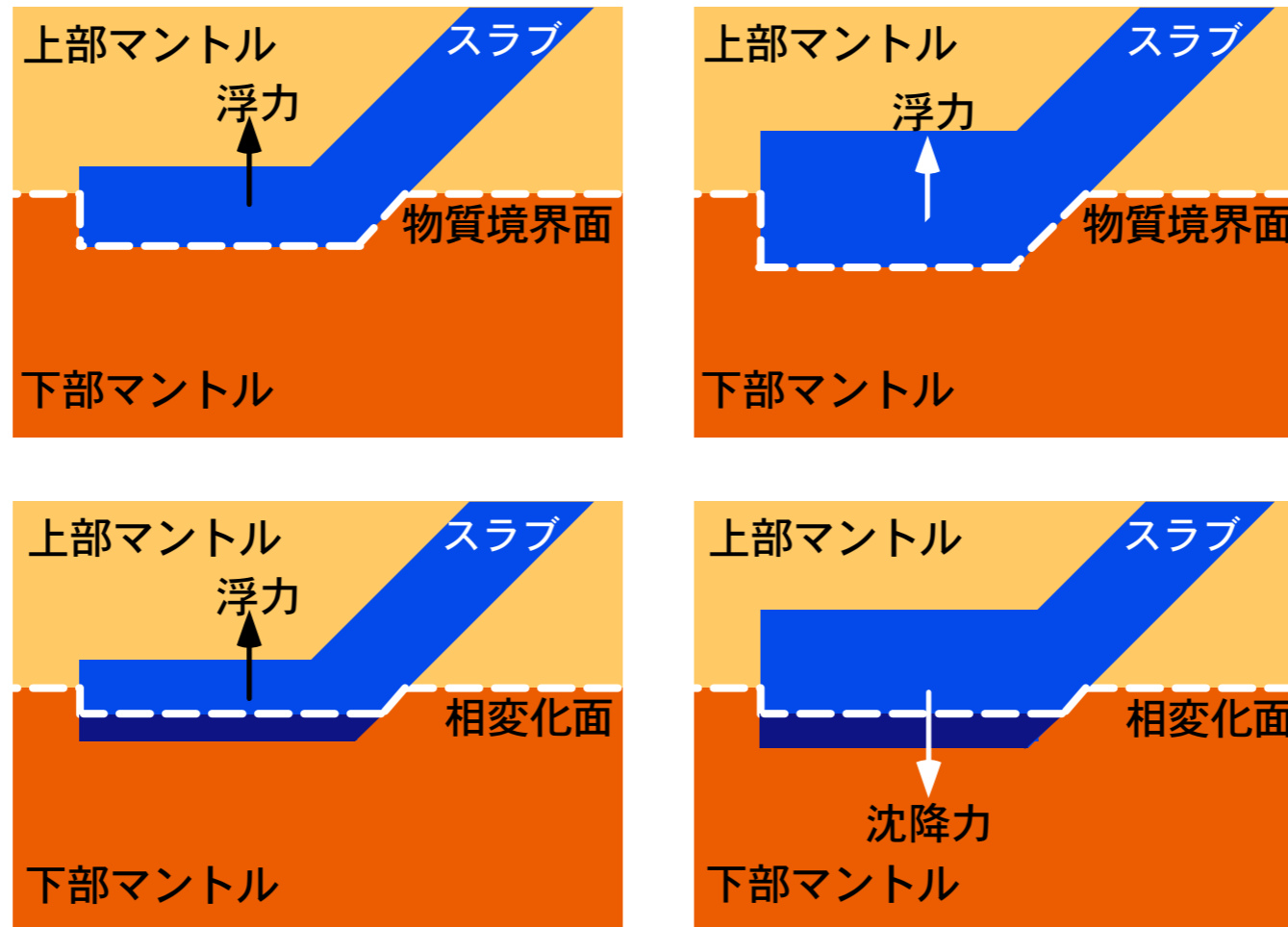
# 球殻中の3次元マントル対流モデル



岩瀬(私信)による

左：定常解 (等温面), 右：時間依存解 (温度異常)

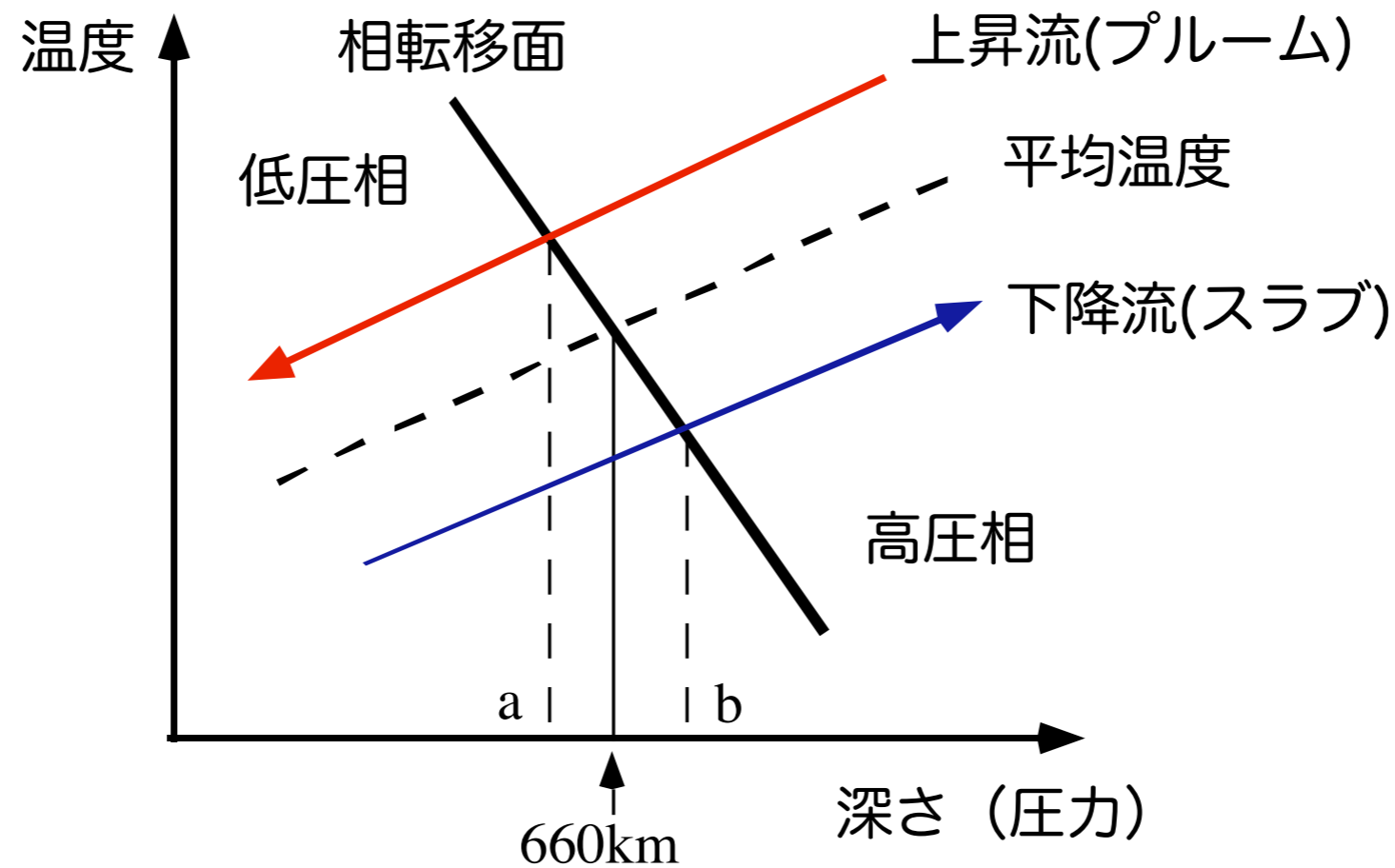
# 下降するスラブと化学・相境界との相互作用



化学境界: 上に載るスラブの量に応じて境界が凹む  
→ 下部マントルの密度がスラブより小さい場合は混合

相境界: スラブの温度に比例して凹む  
→ 支えられるスラブの量に限度

# マントル対流と相境界



平均温度からのずれがあると相転移面に凹凸を生じる  
→ 流れと逆方向の浮力を発生

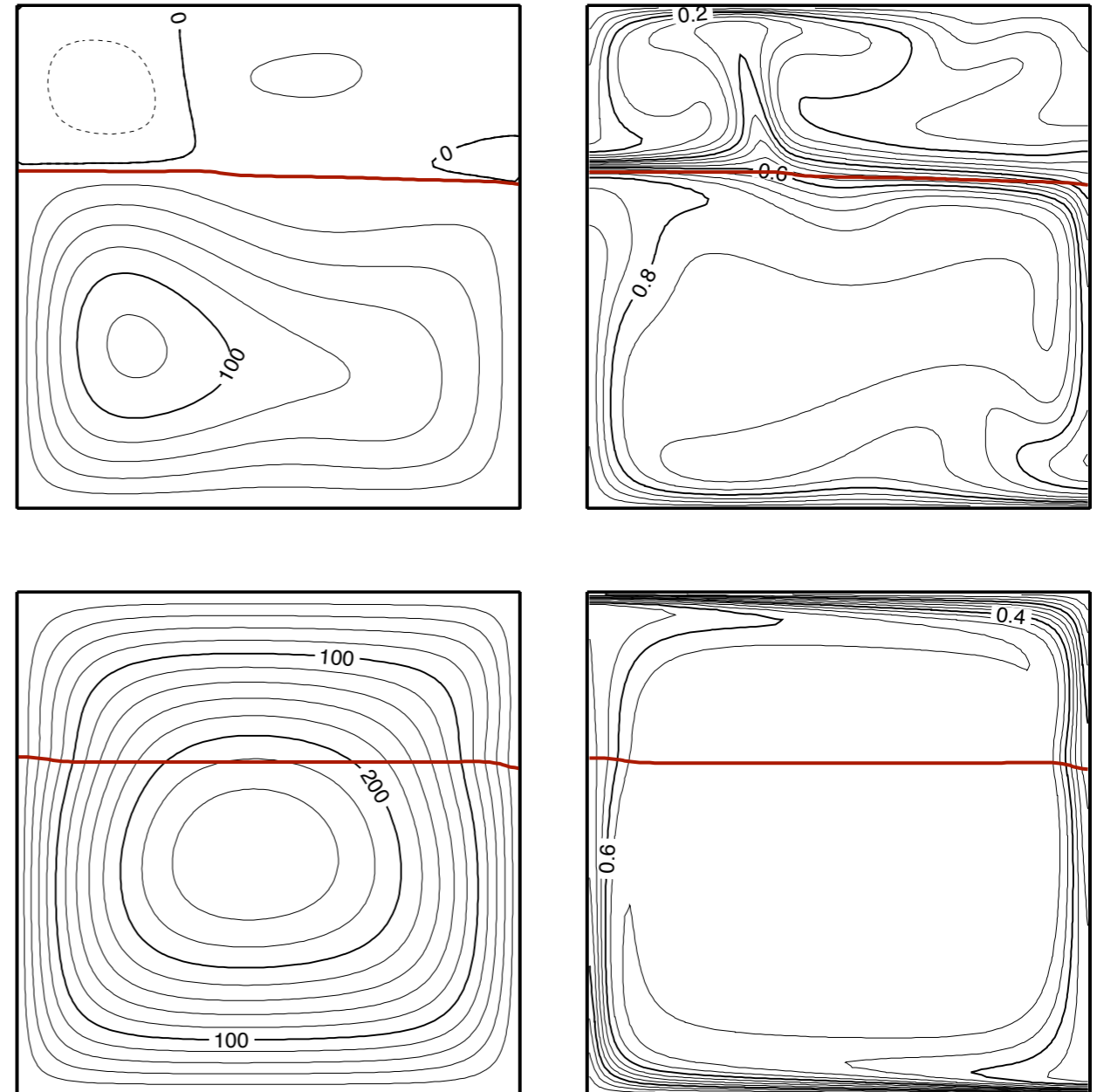
# 相境界のあるマンテル対流

相浮力パラメータ  $P$

$$P = \gamma' \frac{Rb_p}{Ra} = \frac{\gamma \Delta \rho_p}{\rho_0^2 \alpha g h}$$

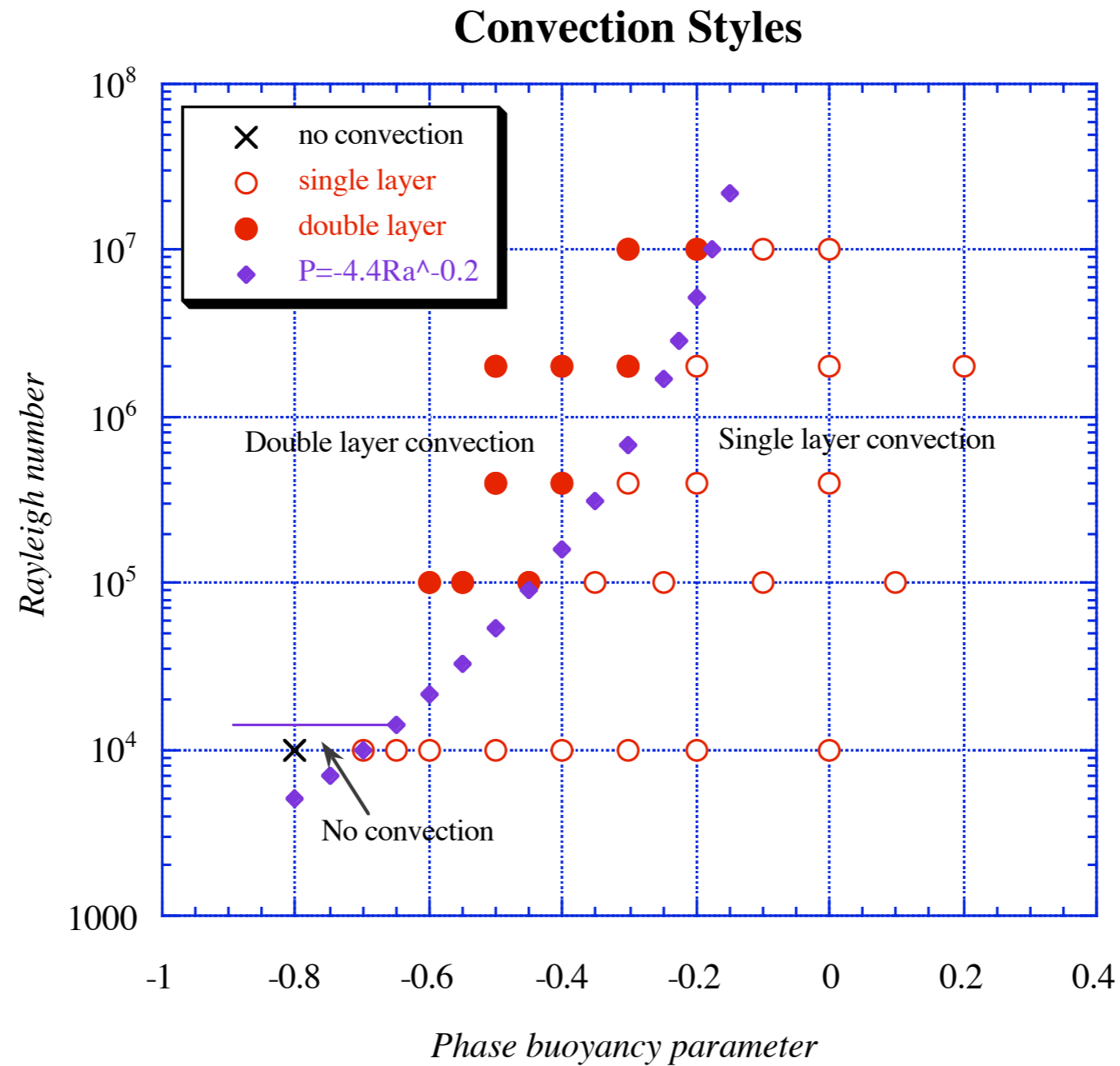
$P = -0.6$ : 二層対流

$P = -0.3$ : 一層対流



$$Ra = 4 \times 10^5$$

# レイリー数と相浮力パラメータ



Christensen and Yuen (1985)に基づいて作成